



**Universidade Federal de Uberlândia
Engenharia Eletrônica e de Telecomunicações**

- Eletrônica Analógica 1 -

Capítulo 1: Diodos

Prof. Alan Petrônio Pinheiro

Sumário

Parte 1: teoria de diodos

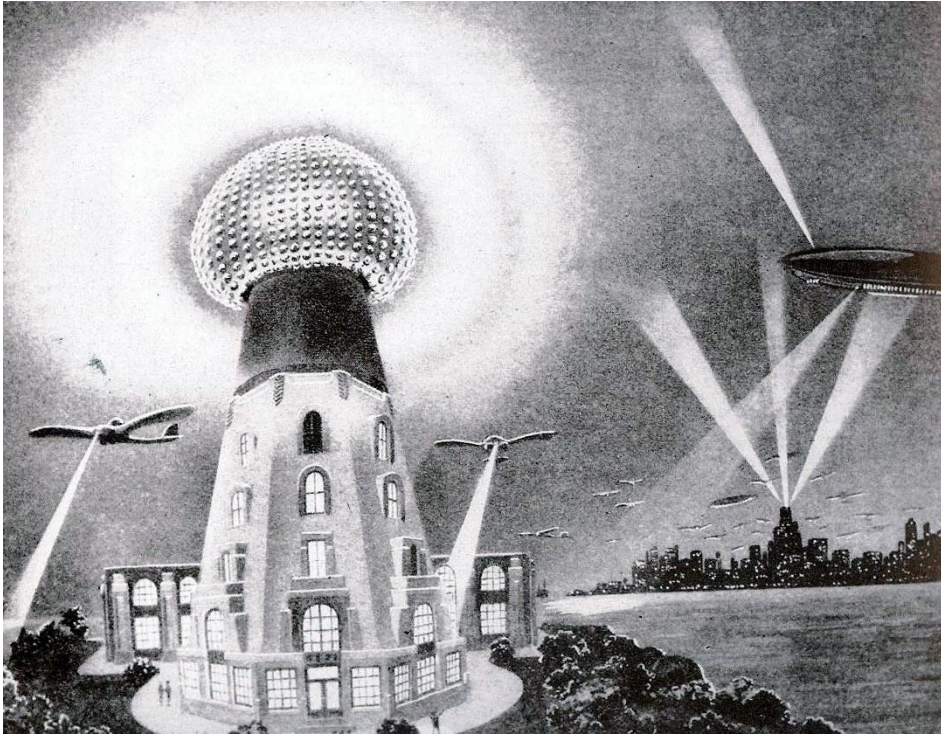
- O diodo ideal
- Física dos semicondutores
- Resistência e modelos equivalentes
- Capacitância e tempos do diodo
- Diodo de Zener
- Interpretação de folha de dados
- Modelos e testes com diodos
- Tipos especiais de diodos
- Exercícios e exemplos

Parte 2: Circuitos com diodos

- Grampeadores de tensão
- Multiplicadores de tensão
- Diodo Zener: projeto
- Outras aplicações
- Projeto básico fontes de alimentação



Transistor: tudo começou com um “fracasso”





RADIO DEPARTMENT



The True Wireless

By NIKOLA TESLA

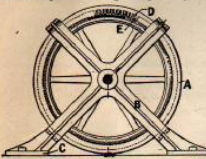
Written Exclusively for The Electrical Experimenter

EVER since the announcement of Maxwell's electro-magnetic theory scientific investigators all the world over had been bent on its experimental verification. They were convinced that it would be done and lived in an atmosphere of eager expectancy, un-

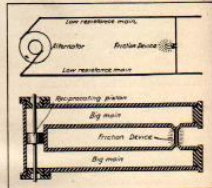
proved appliances. Similar phenomena were noted, greatly magnified in intensity, but they were susceptible of a different and more plausible explanation. I considered this so important that in 1892 I went to Bonn, Germany, to confer with Dr. Hertz in regard to my observations. He seemed disappointed to such a degree that I regretted my trip and parted from him sorrowfully. During the succeeding years I made numerous experiments with the same object, but the results were uniformly negative. In 1900, however, after I had evolved a wireless transmitter which enabled me to obtain electro-magnetic activities of many millions of horse-power, I made a last desperate attempt to prove that the disturbances emanating from the oscillator were ether vibrations akin to those of light, but met again with utter failure. For more than eighteen years I have been reading treatises, reports of scientific transmissions, and articles on Hertz-wave telegraphy, to keep myself informed, but they have always impressed me like works of fiction.

The history of science shows that theories are perishable. With every new truth that is revealed we get a better understanding of Nature and our conceptions and views are modified. Dr. Hertz did not discover a new principle. He merely gave material support to a hypothesis which had

application of these radiations for the purpose was quite obvious. When Dr. Hertz was asked whether such a system would be of practical value, he did not think so, and he was correct in his forecast. The best that might have been expected was a method of communication similar to the



Alternator of 10,000 Cycles p.a., Capacity 10 K.W., Which Was Employed by Tesla in His First Demonstrations of High Frequency Phenomena Before the American Institute of Electrical Engineers at Columbia College, May 26, 1891. Fig. 1.

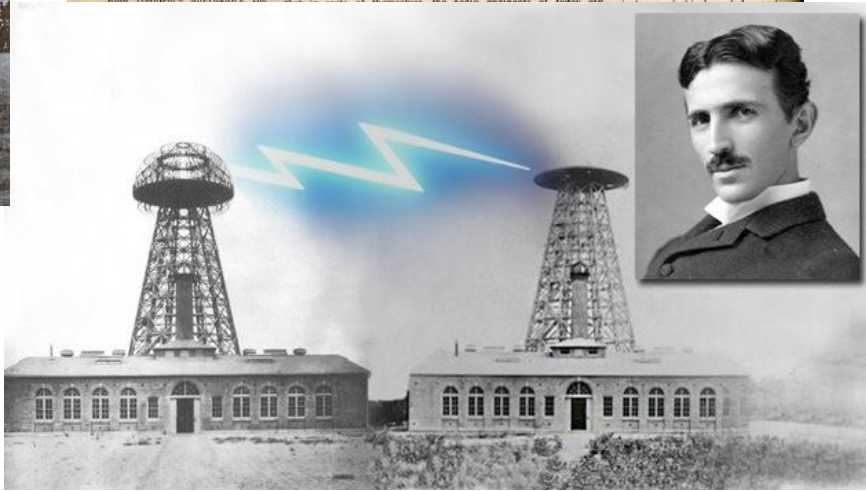


Electric Transmission Thru Two Wires and Hydraulic Analogy. Fig. 3.

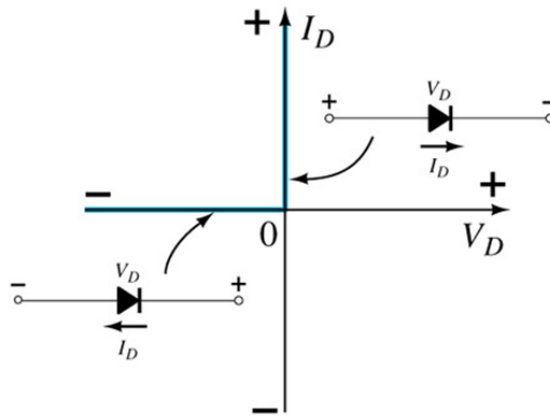
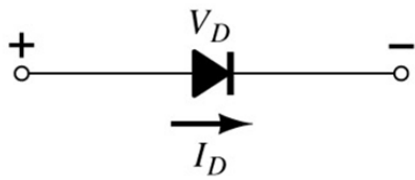
usually favorable to the reception of any evidence to this end. No wonder then that the publication of Dr. Heinrich Hertz's results caused a thrill as had scarcely ever been experienced before. At that time I was in the midst of pressing work in connection with the commercial introduction of my system of power transmission, but, nevertheless, caught the fire of enthusiasm and fairly burned with desire to behold the miracle with my own eyes. Accordingly, as soon as I had freed myself of these imperative duties and resumed research work in my laboratory on Grand Street, New York, I began, parallel with

In this remarkable and complete story of his discovery of the "True Wireless" and the principles upon which transmission and reception, even in the present day systems, are based, Dr. Nikola Tesla shows us that he is indeed the "Father of the Wireless." To him the Hertz wave theory is a delusion; it looks sound from certain angles, but the facts tend to prove that it is hollow and empty. He convinces us that the real Hertz waves are blasted out after they have traveled but a short distance from the sender. It follows, therefore, that the measured antenna current is no indication of the effect, because only a small part of it is effective at a distance. The limited activity of pure Hertz wave transmission and reception is here clearly explained, besides showing definitely

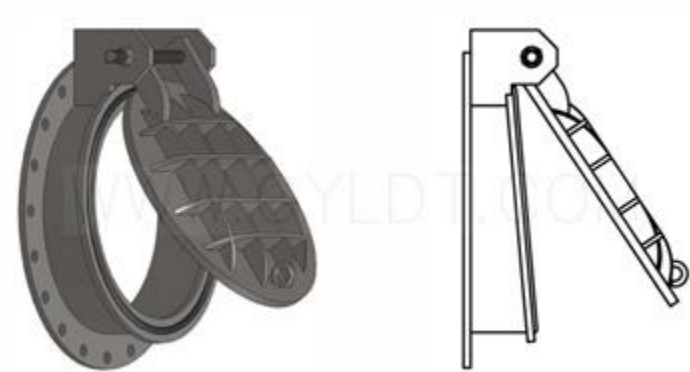
heliographic and subject to the same or even greater limitations. In the spring of 1891 I gave my demonstrations with a high frequency machine before the American Institute of Electrical Engineers at Columbia College, which laid the foundation to a new and far more promising departure. Altho the laws of electrical resonance were well known at that time and my lamented friend, Dr. John Hopkinson, had even indicated their specific application to an alternator in the Proceedings of the Institute of Electrical Engineers, London, Nov. 13, 1889, nothing had been done towards the prac-



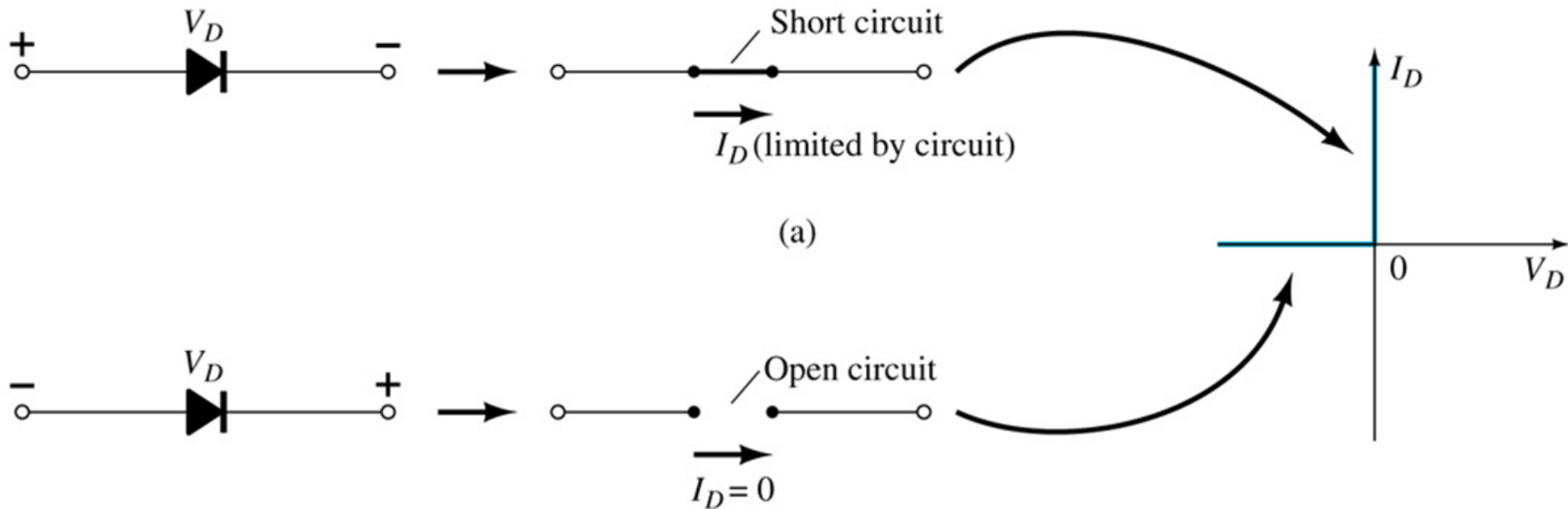
O diodo ideal



- Analogia:



- Polarização
- **Dispositivos de estado sólido**

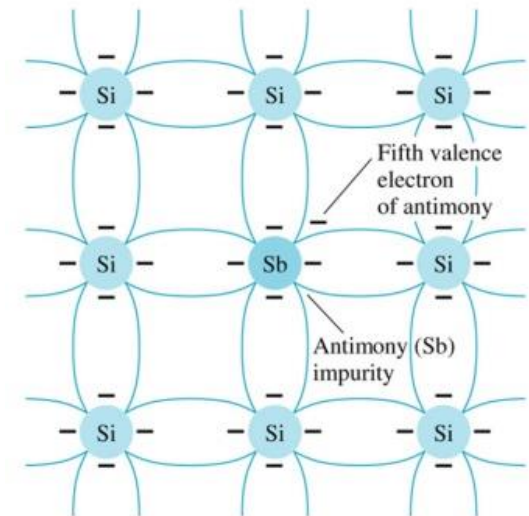
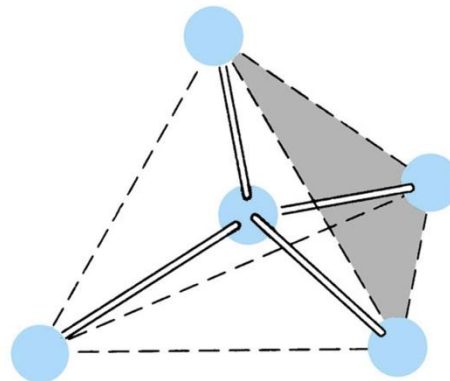


Física dos semicondutores

- Resistividade dos materiais

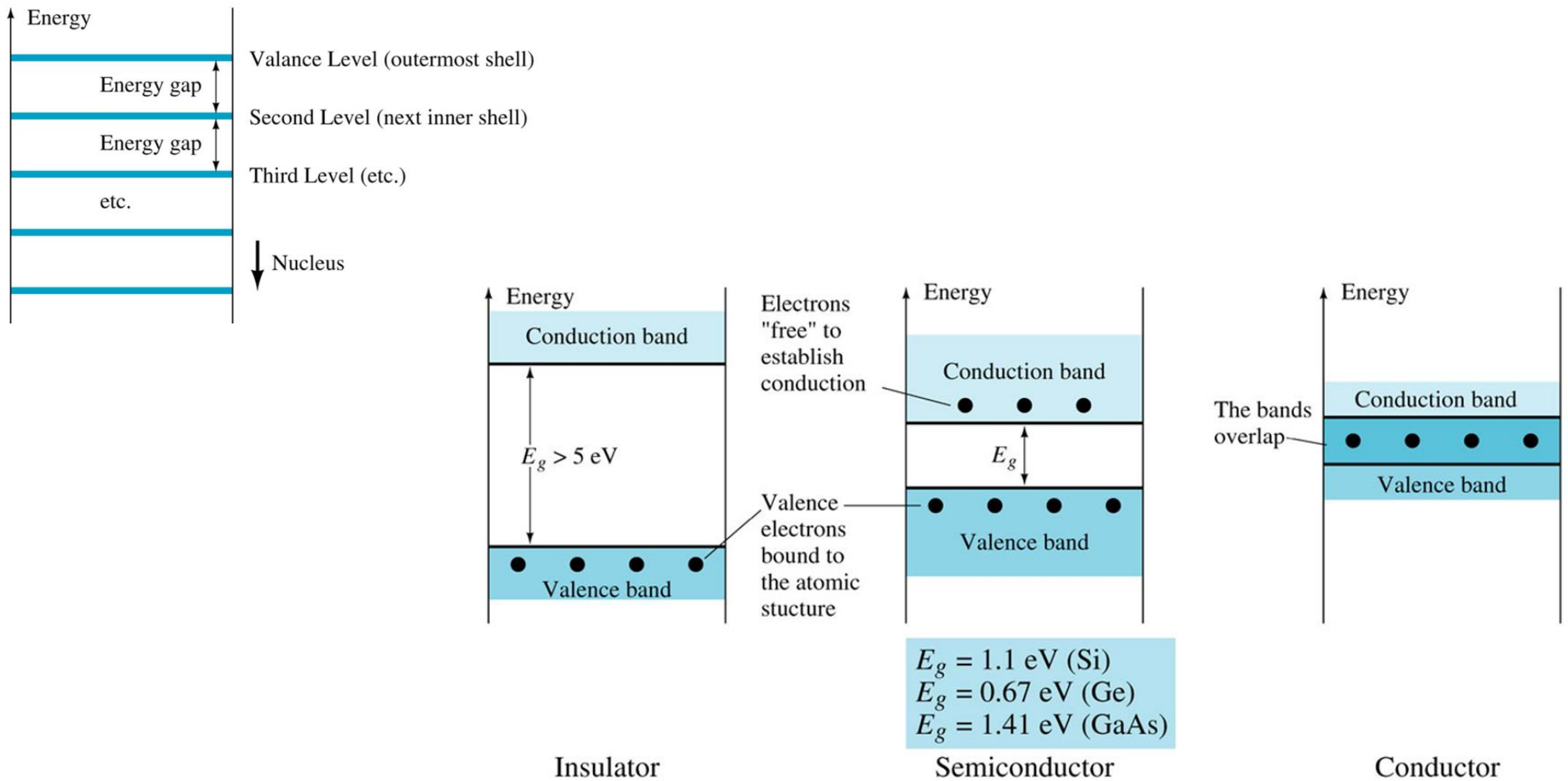
<i>Conductor</i>	<i>Semiconductor</i>	<i>Insulator</i>
$\rho \cong 10^{-6} \Omega\text{-cm}$ (copper)	$\rho \cong 50 \Omega\text{-cm}$ (germanium) $\rho \cong 50 \times 10^3 \Omega\text{-cm}$ (silicon)	$\rho \cong 10^{12} \Omega\text{-cm}$ (mica)

- Átomos tetraivalentes



– Portadores intrínsecos ($\text{Ge}=2.5 \times 10^{13} \text{e}$)

• Níveis de energia discretos

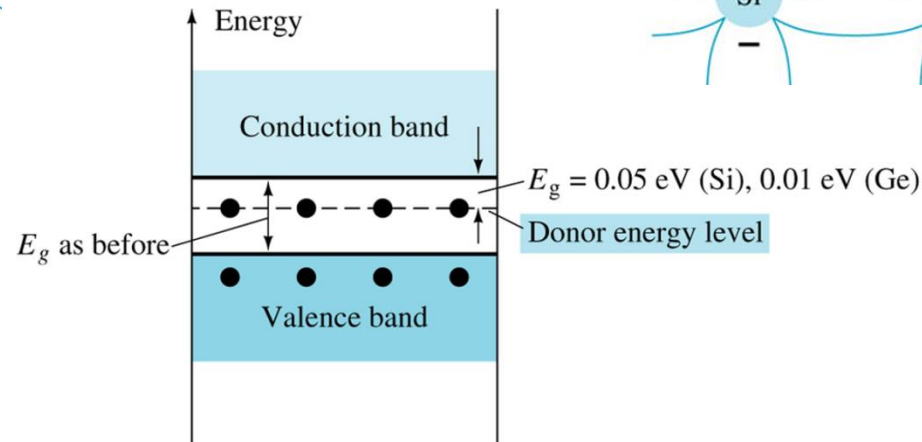
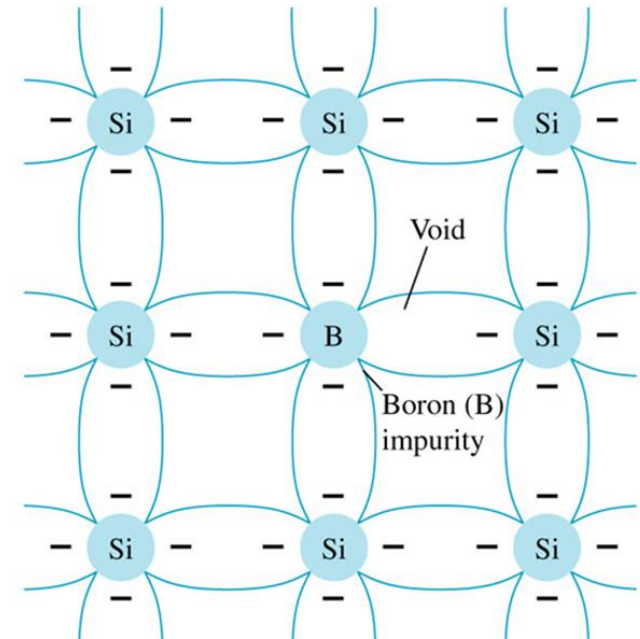
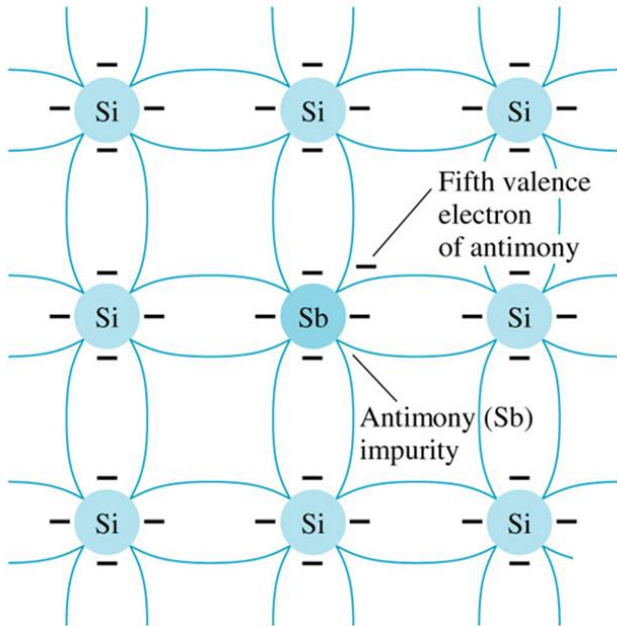


Sendo que: $1 \text{ eV} = 1,6 \times 10^{-19} \text{ J}$

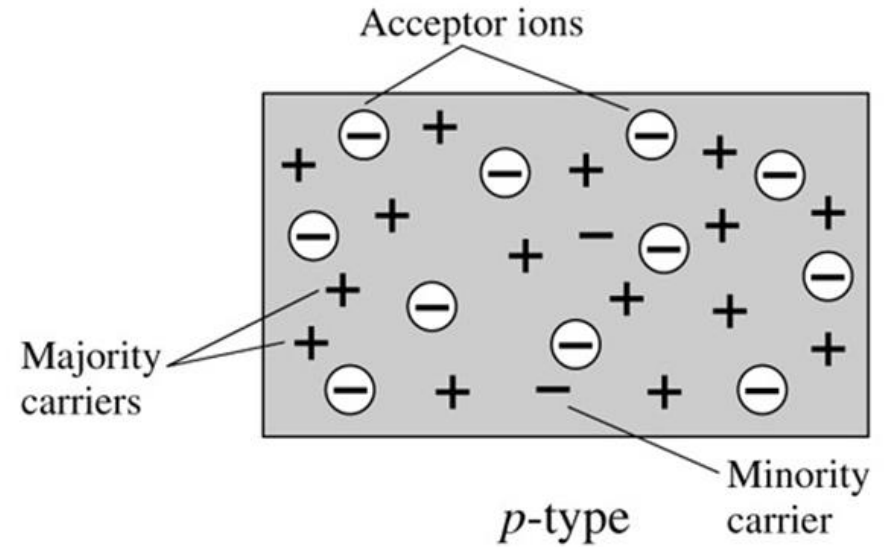
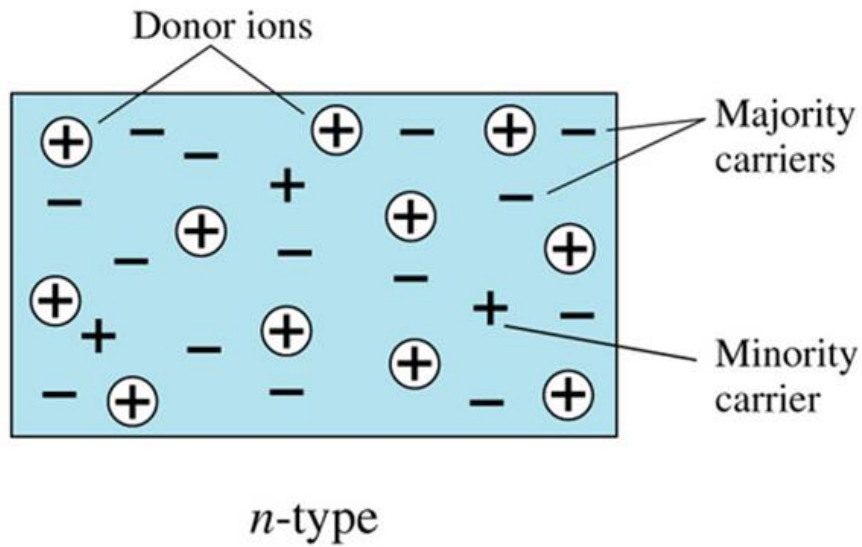


• Materiais extrínsecos

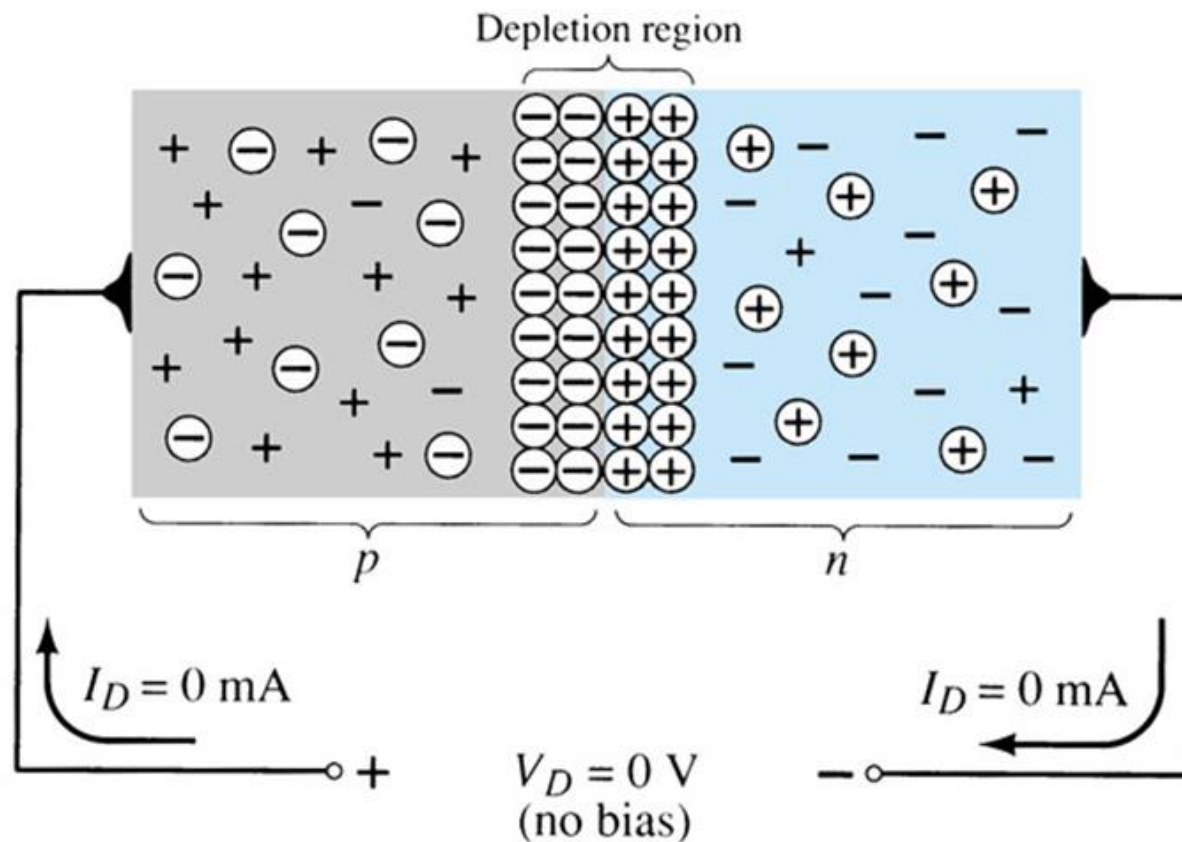
- Dopagem *n* e *p*
- Fluxo de lacunas x elétrons



- Portadores majoritários e minoritários



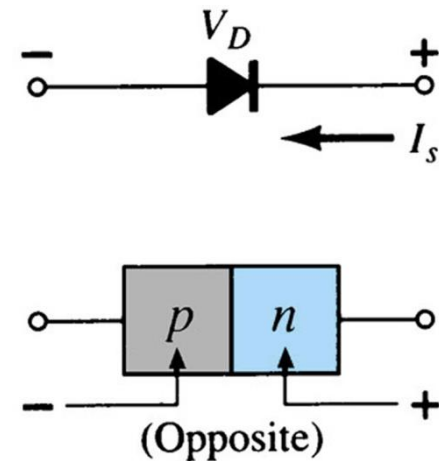
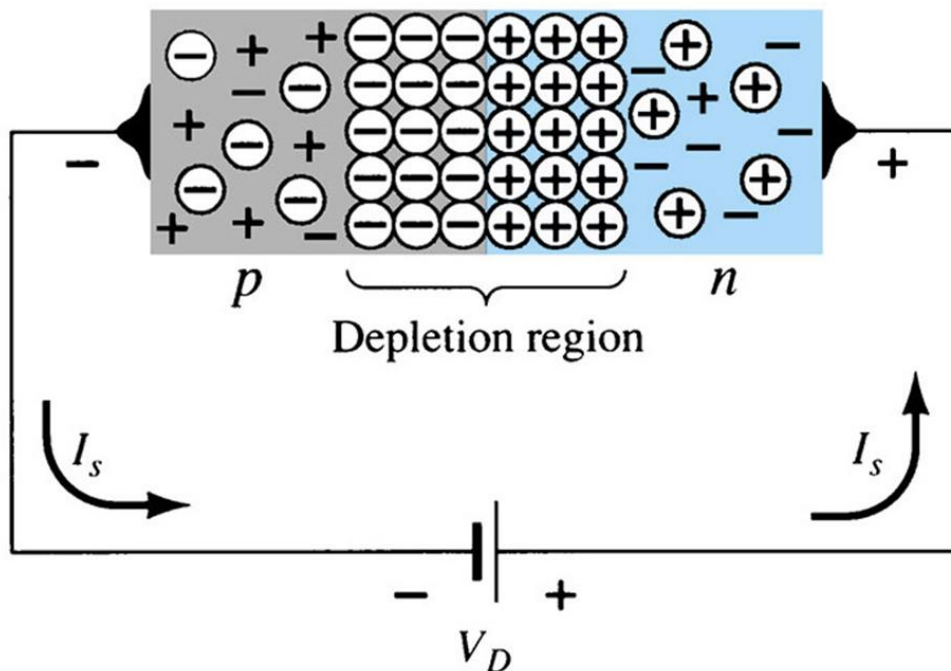
- O diodo como semicondutor
 - **Caso A: sem polarização**



– Caso B: polarização reversa ($V_d < 0V$)

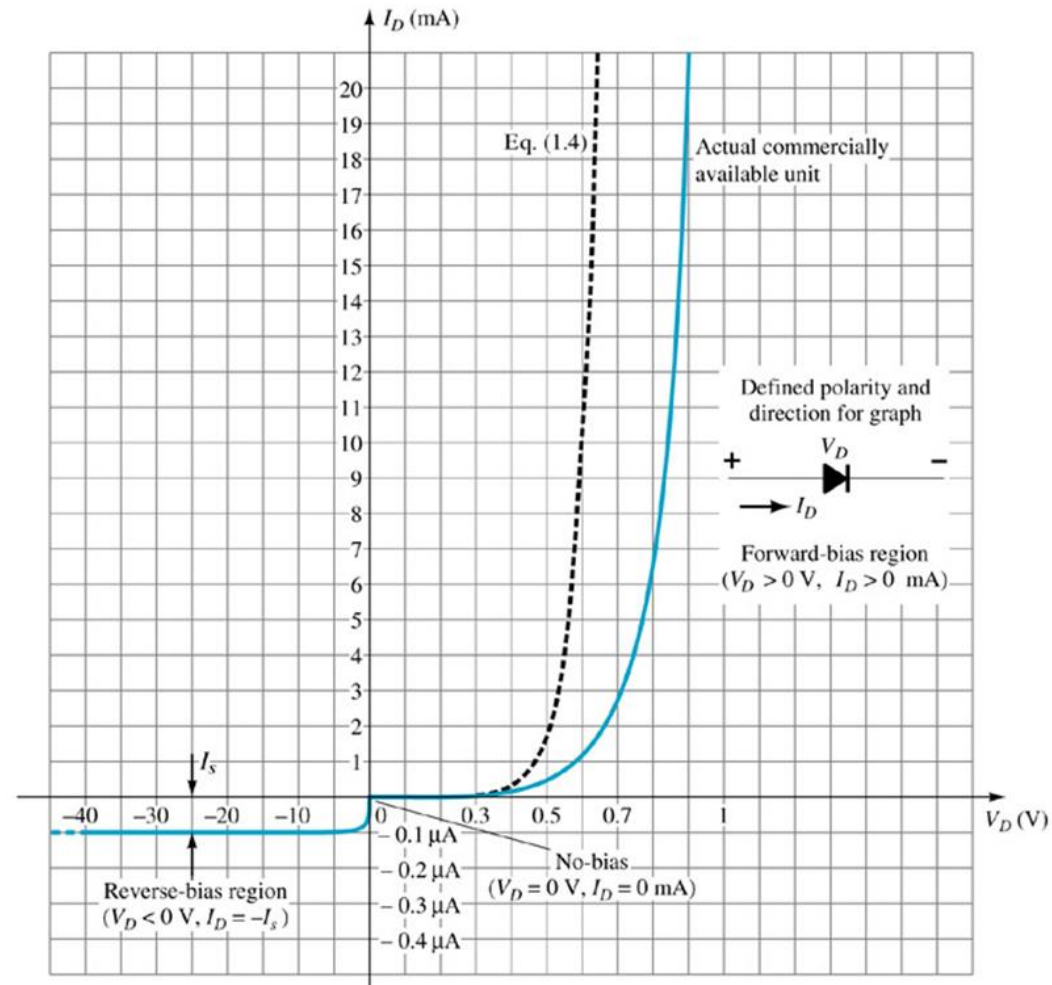
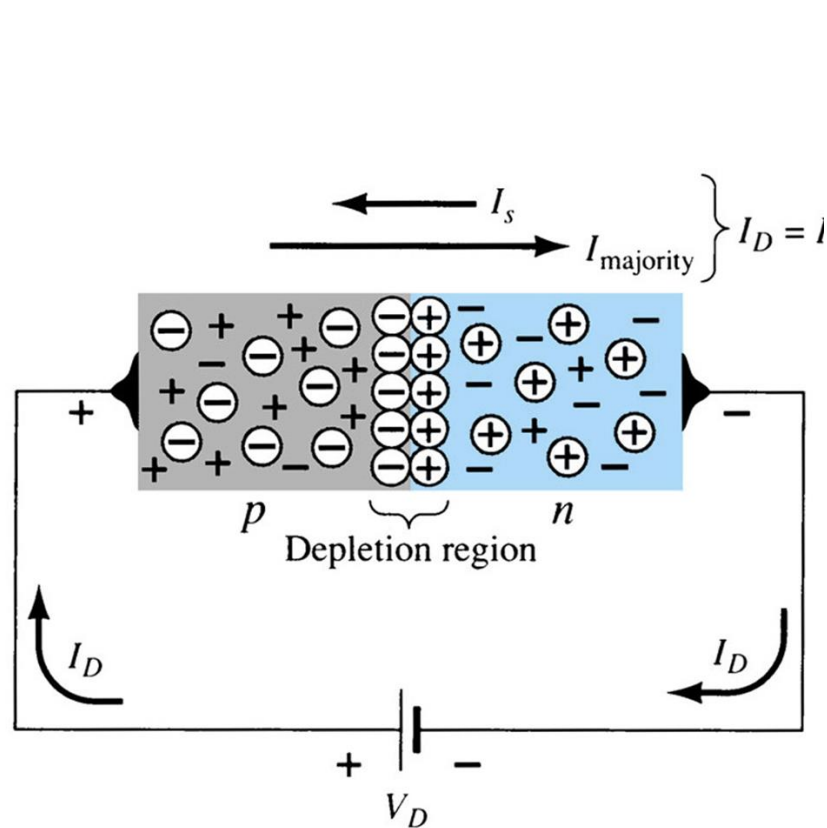
- Aumento da região depleção
- Surgimento de uma “**corrente de saturação reversa**” I_s (*fuga*)
 - Baixíssimo valor ($\leq \mu A$)
 - Independe da intensidade de polarização

← I_s Minority-carrier flow
 $I_{\text{majority}} = 0$



– Caso C: polarização direta ($V_d > 0V$)

- Pólos forçam portadores majoritários a se recombinarem com os íons da fronteira reduzindo a depleção



- Equação geral do diodo semicondutor:

$$I_D = I_S (e^{kV_D/T_K} - 1)$$

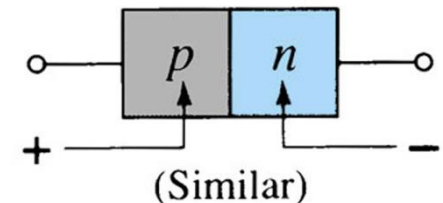
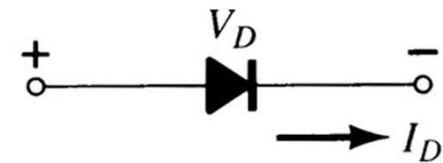
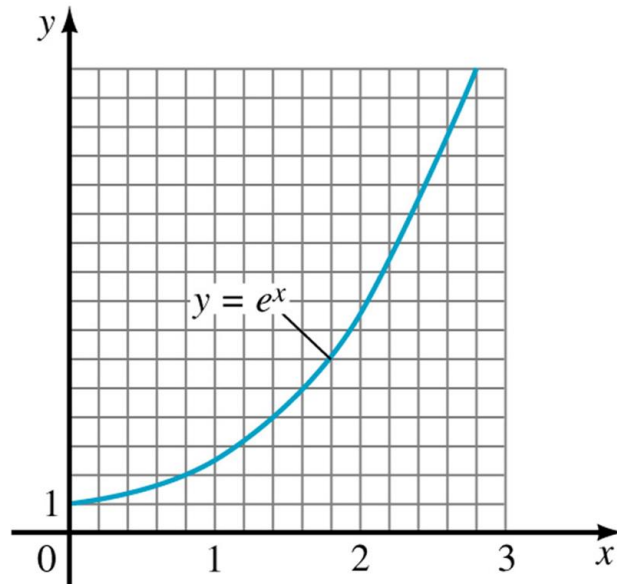
“d’onde”:

- I_S = corrente de saturação reversa

- $k = 11600/\eta$

com $\eta=2$ para G_e e $\eta=1$ para S_i

- $T_k = T_c + 273^\circ$



- Região Zener

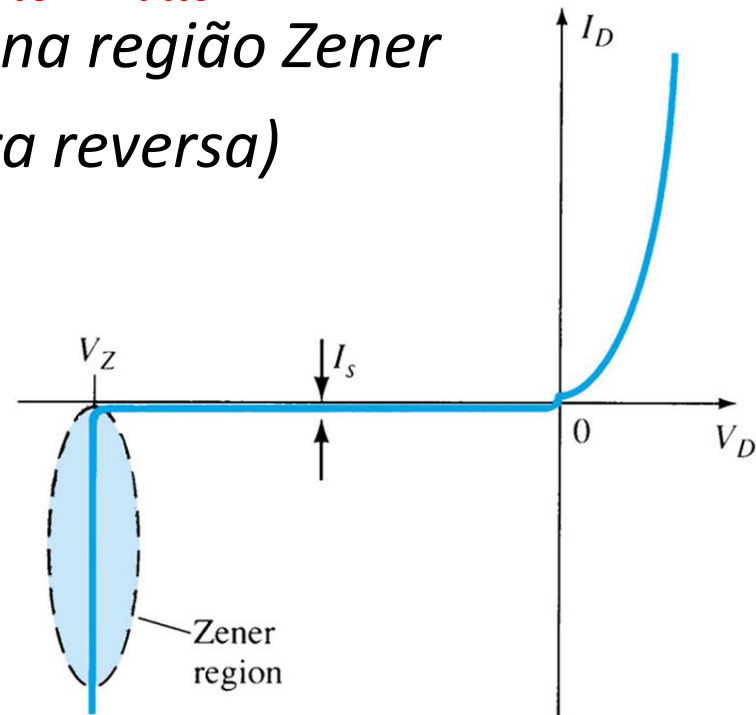
- Aumento velocidade portadores minoritários

- liberação outros portadores por colisões (ionização);
- “Corrente de avalanche”;

- *Diodos de Zener*

- **Tensão pico inversa** (V_Z , V_{PIV} , V_{PRV}) = máximo potencial inverso antes diodo entrar na região Zener

- V_R ou V_{BR} (tensão de ruptura reversa)

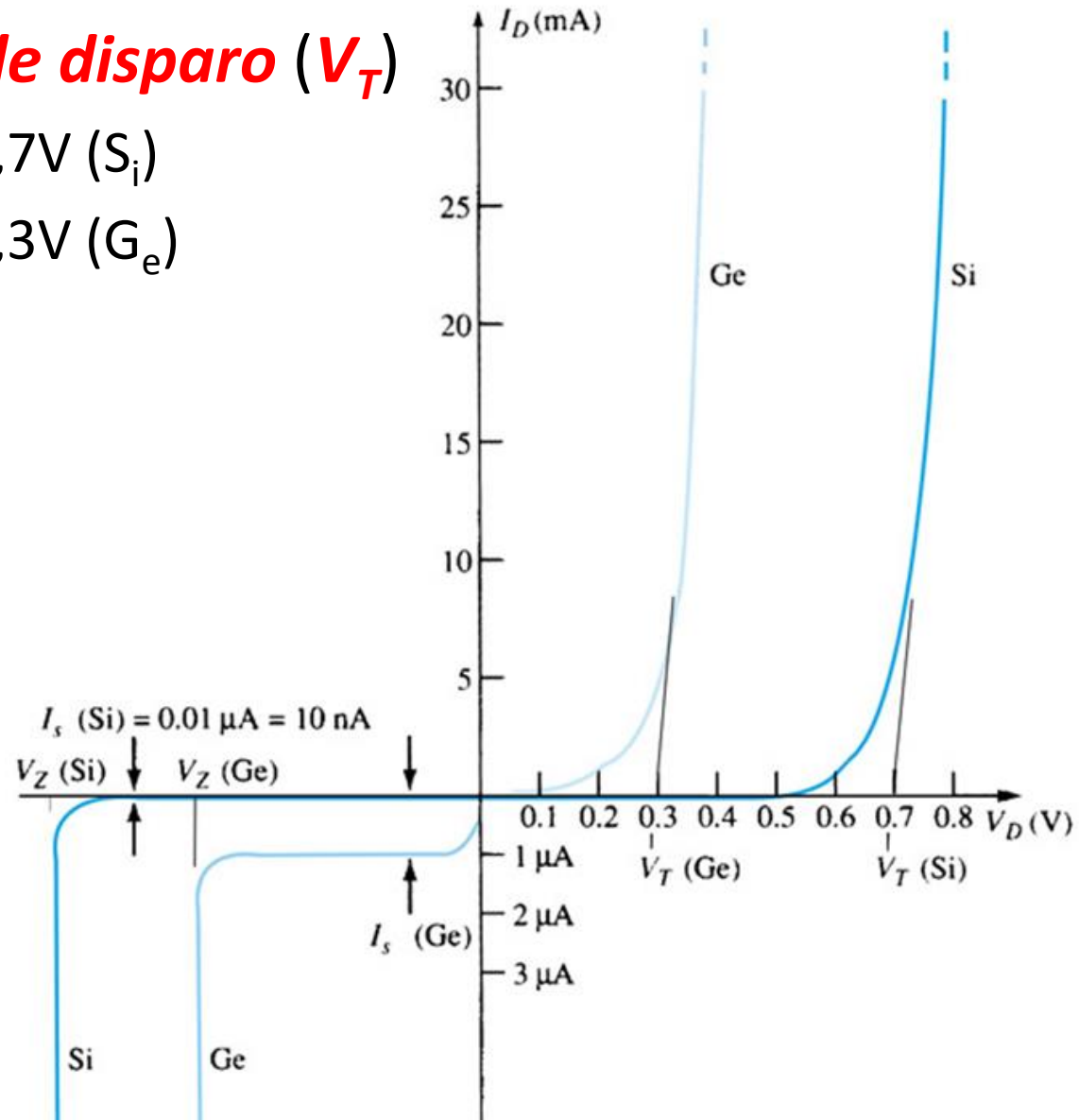


- S_i versus G_e

- **Limiar de disparo (V_T)**

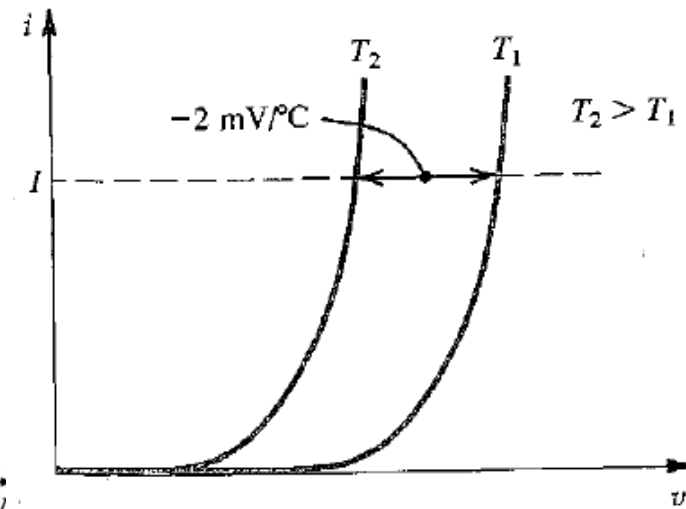
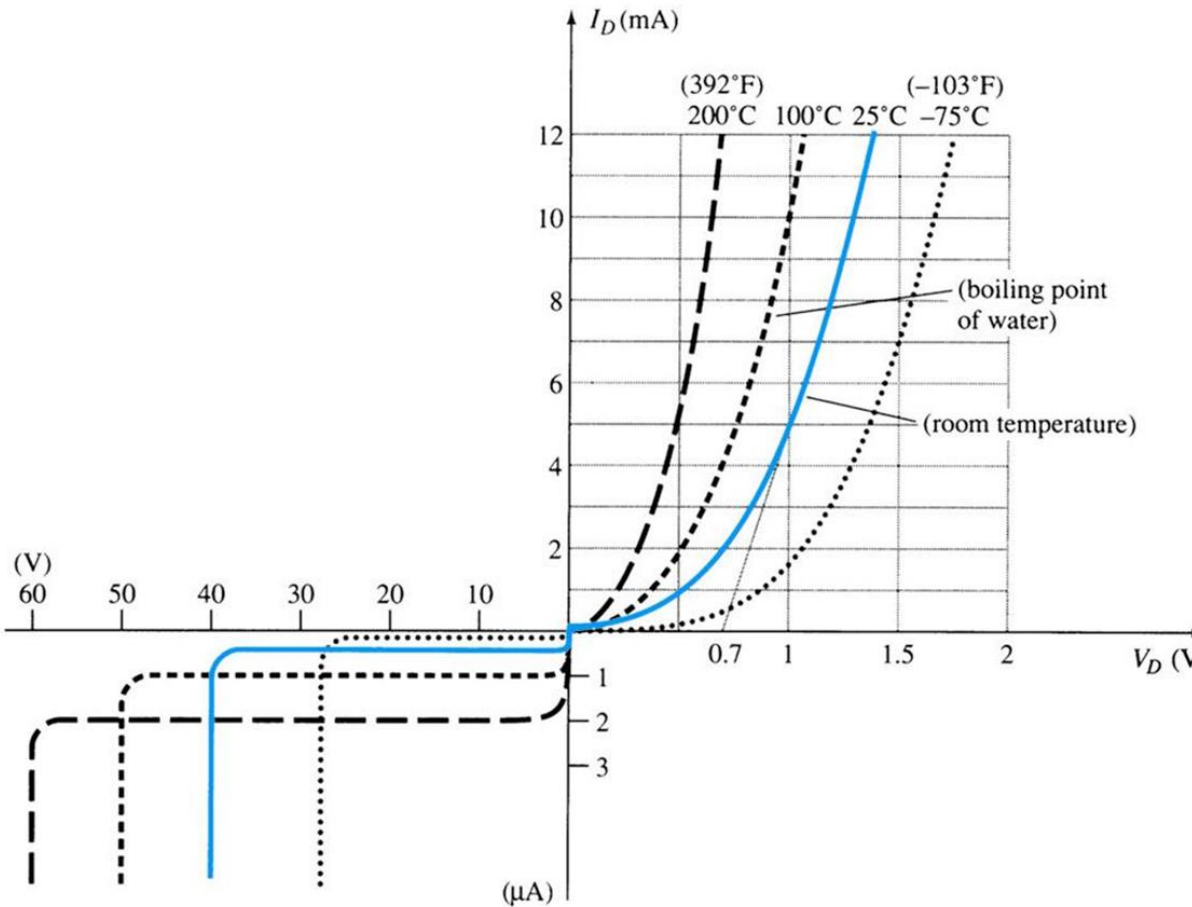
- $V_T \approx 0,7V$ (S_i)

- $V_T \approx 0,3V$ (G_e)

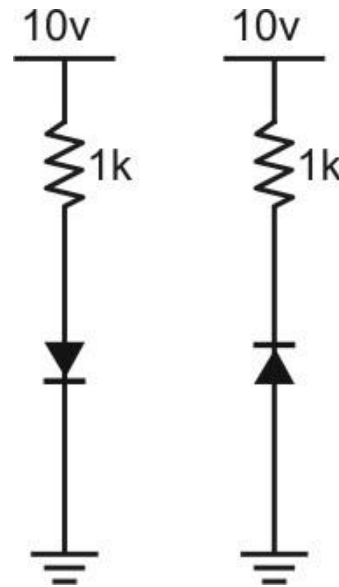


- Efeitos da temperatura

- I_S praticamente dobra para cada aumento de 10°C

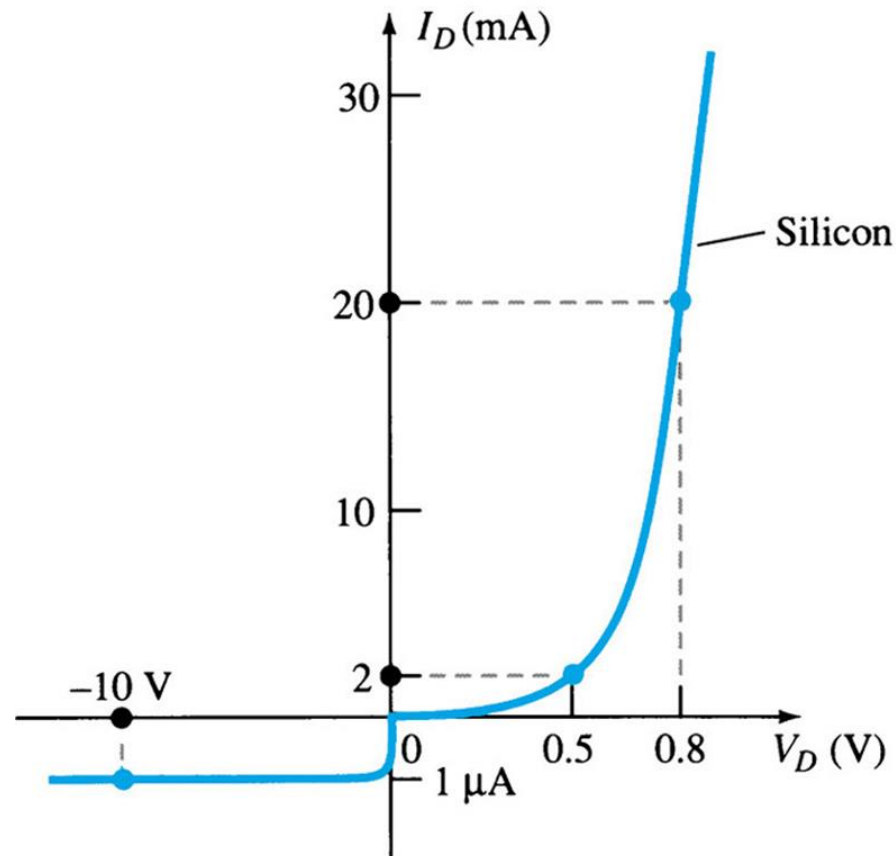


Exemplo 1: nas duas versões abaixo de circuitos, determine a tensão sobre o diodo



Valores de resistência e modelos equivalentes do diodo

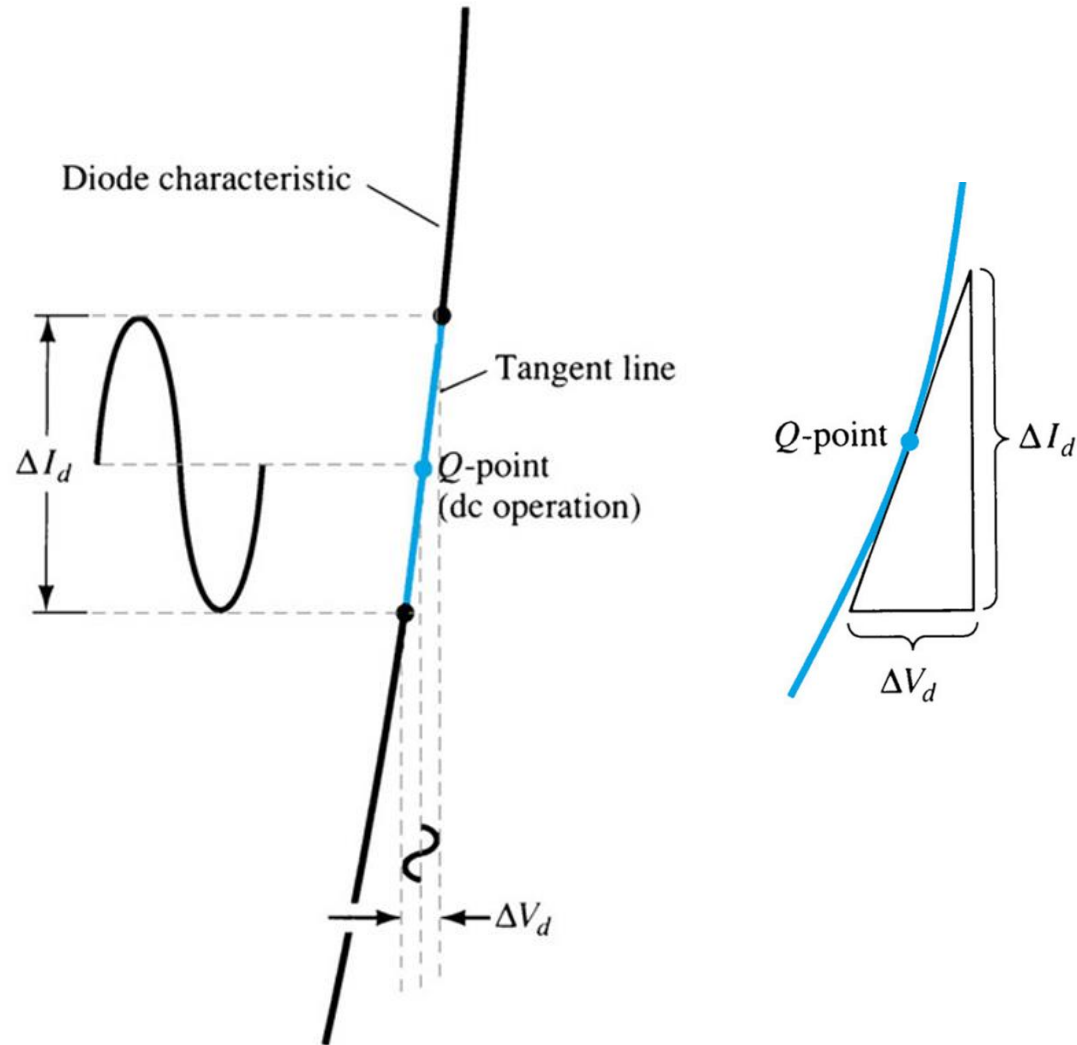
- TIPO 1: resistância CC (ou estática)
 - Exemplo:



- TIPO 2: resistência CA (ou dinâmica)

- Ponto quiescente (Q)

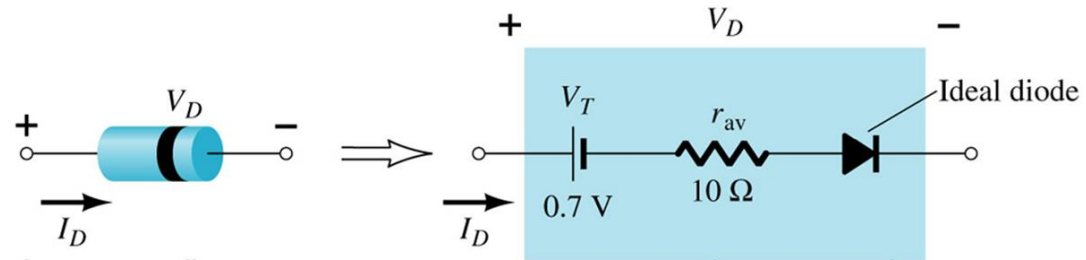
- $$r_d = \frac{\Delta V_d}{\Delta I_d} \approx \frac{25,6\text{mV}}{I_D}$$



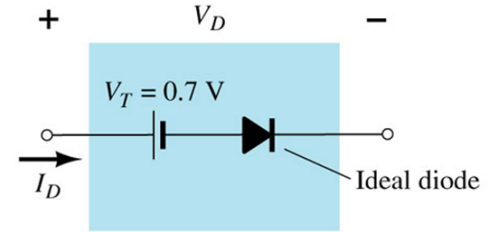
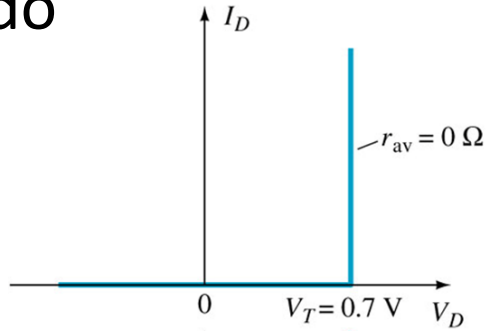
- Resistência de corpo (r_B) ou de conexão metálica: 0,1 a 2 Ω

- Circuitos equivalentes

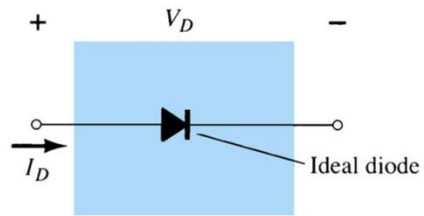
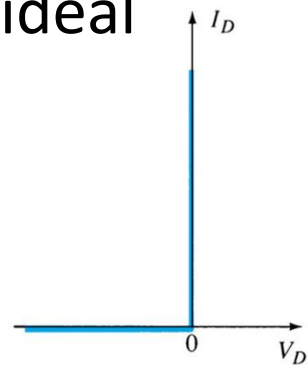
- TIPO 1: linear



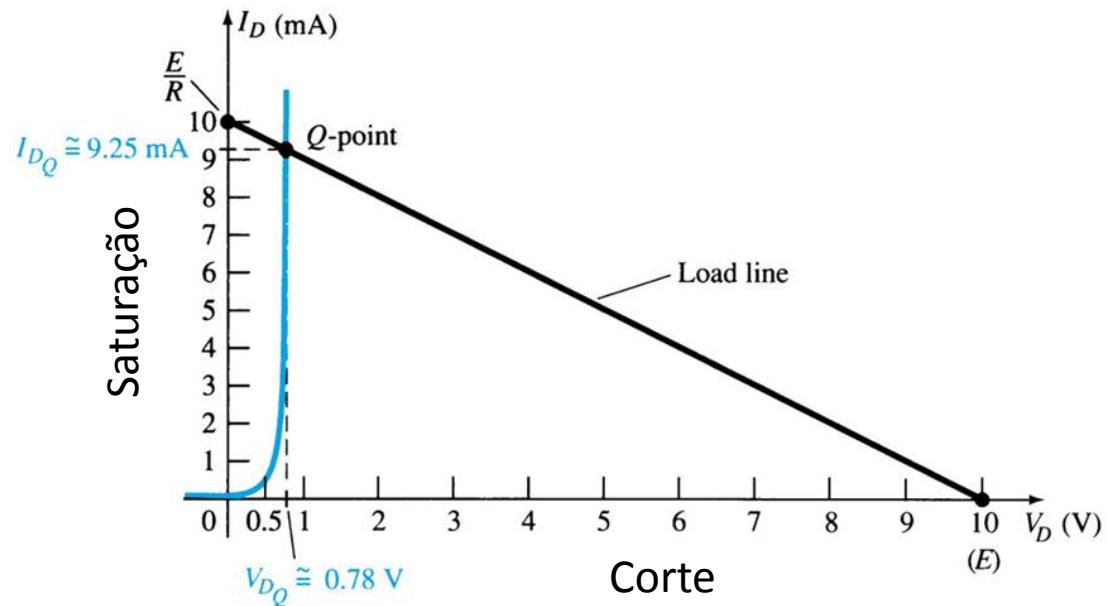
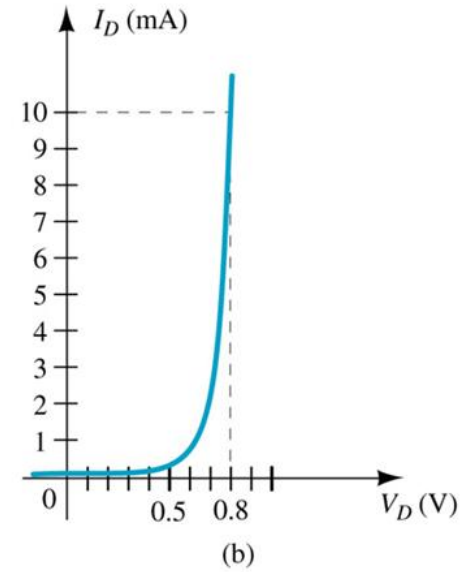
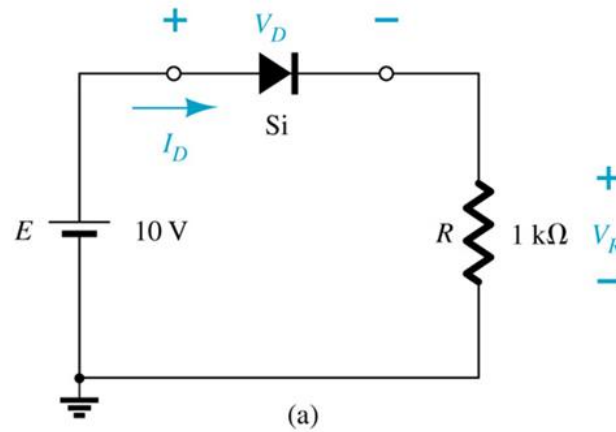
- TIPO 2: Simplificado



- TIPO 3: ideal



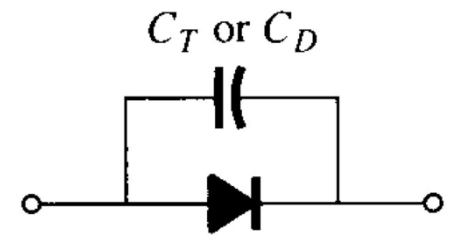
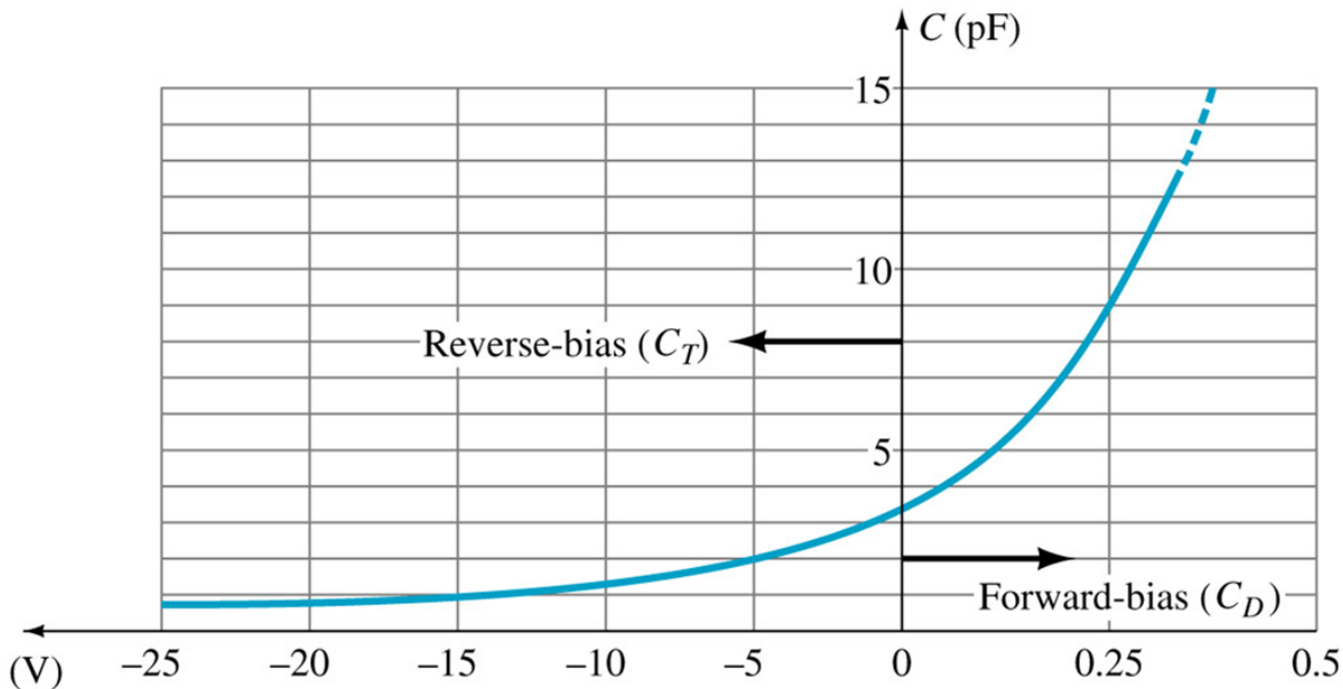
- Reta de carga



Capacitância e tempos do diodo

- Capacitância

- Depleção como meio isolante
- Capacitância depende do potencial de polarização



- Tempo de recuperação reversa

- t_s (tempo armazenamento)

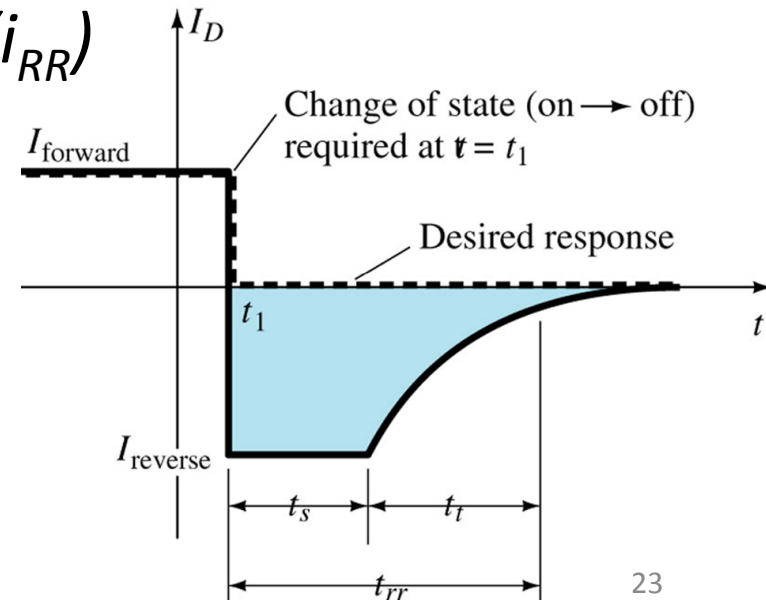
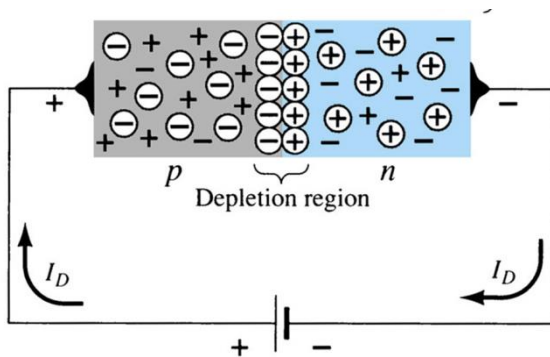
- Portadores minoritários voltarem ao material oposto

- t_t (tempo transição)

- $t_{rr} = t_s + t_t$

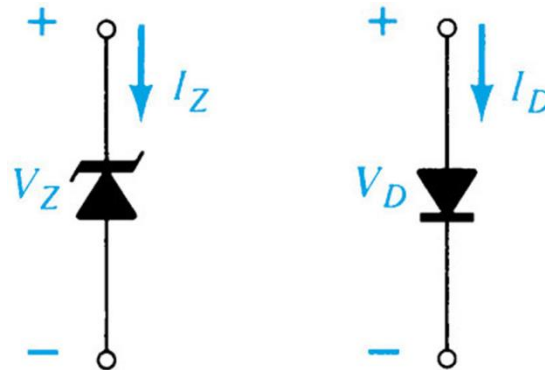
- Varia de 1 μ s a poucos os

- *Corrente recuperação inversa (i_{RR})*



Diodo de Zener

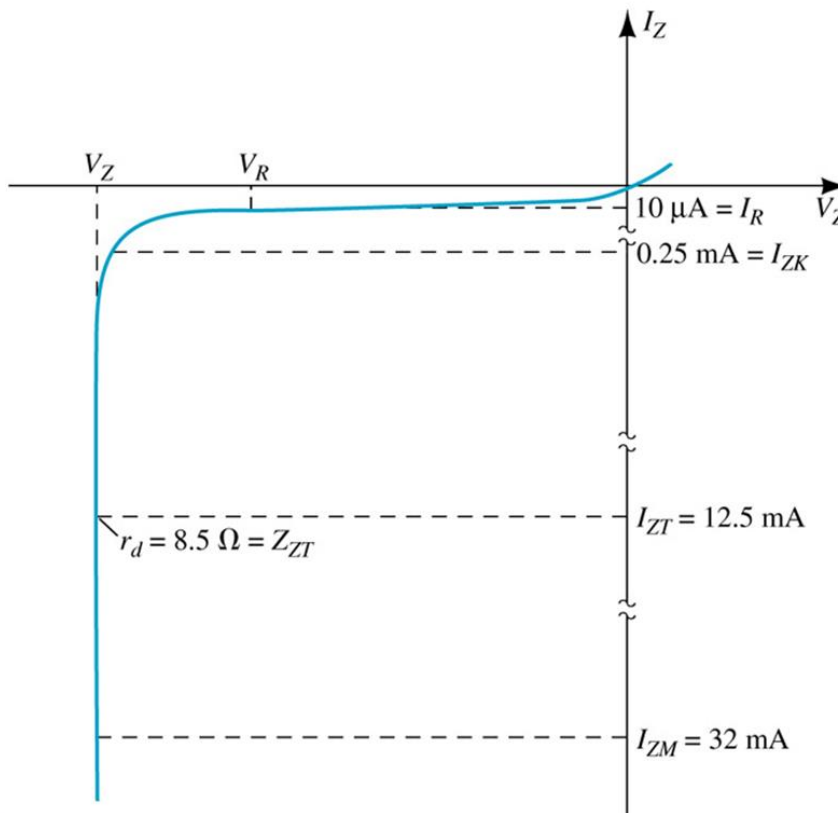
- Principal característica: $V_D \leq V_Z$
- Controla-se a região de Zener variando-se nível dopagem



• Características elétricas

Zener Voltage Nominal, V_Z (V)	Test Current, I_{ZT} (mA)	Max Dynamic Impedance, Z_{ZT} at I_{ZT} (Ω)	Maximum Knee Impedance, Z_{ZK} at I_{ZK} (Ω) (mA)	Maximum Reverse Current, I_R at V_R (μA)	Test Voltage, V_R (V)	Maximum Regulator Current, I_{ZM} (mA)	Typical Temperature Coefficient (%/°C)
10	12.5	8.5	700 0.25	10	7.2	32	+0.072

Observação: V_Z é nominal e pode ter variação de até 20%



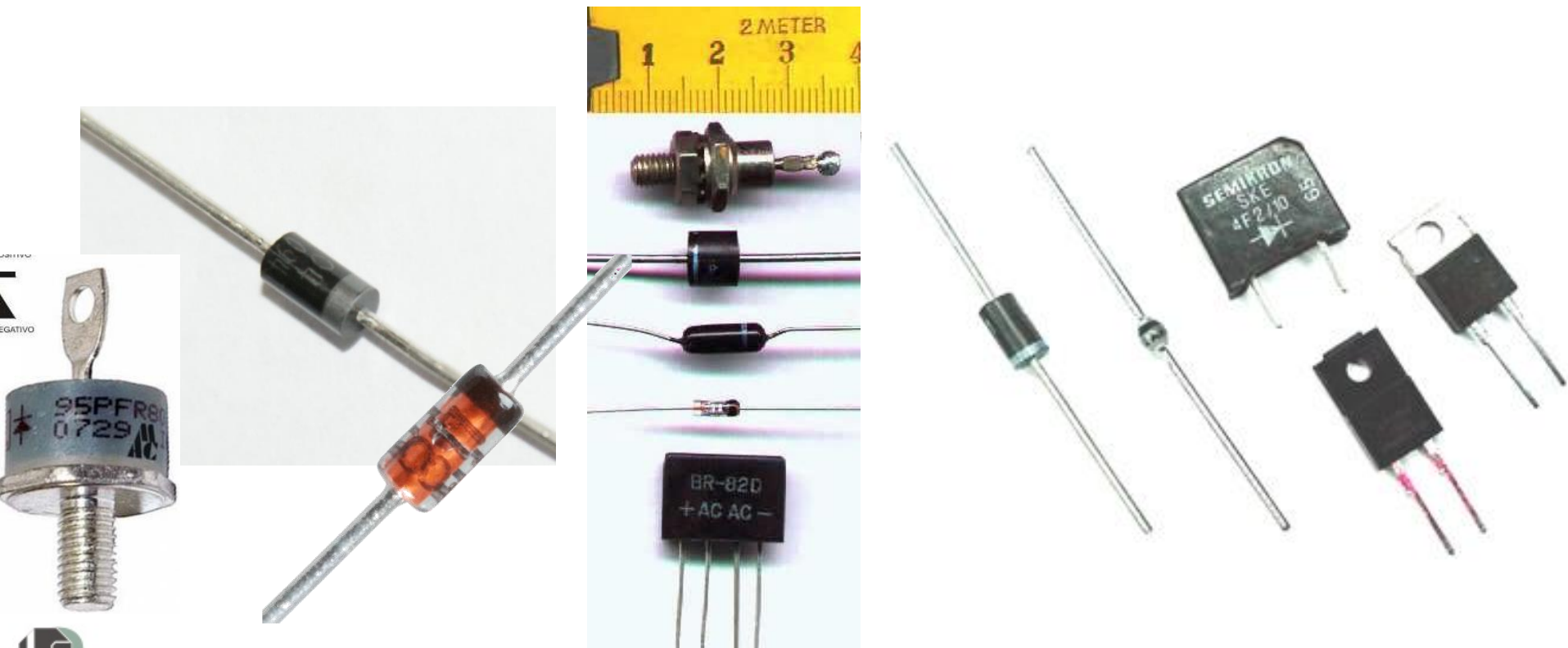
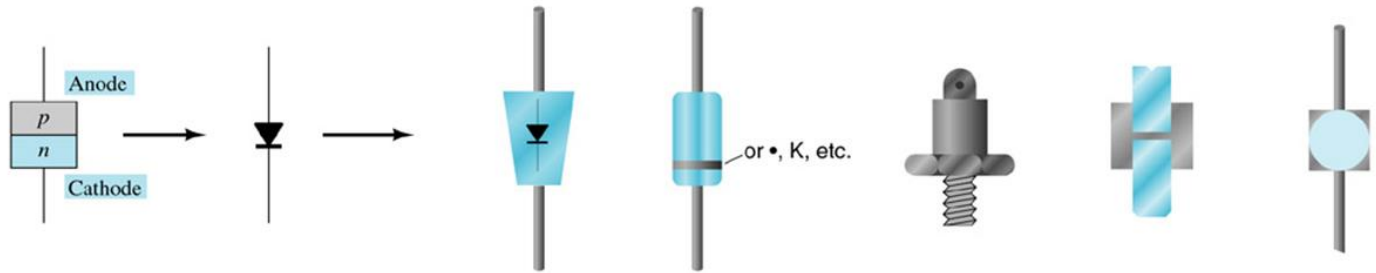
Interpretação de folha de dados (data sheets)

- Principais parâmetros:
 - Tensão direta V_F
 - Corrente direta máxima I_F
 - Corrente saturação reversa I_R
 - Tensão reversa nominal ou de ruptura (V_{PIV} , V_{PRV} , V_{BR})
 - Valor máximo de potência
 - Tempo de recuperação reversa t_{rr}
 - Faixa de temperatura de operação



Modelos e testes com diodos

• Notação:






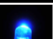
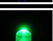
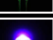
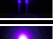

- Classes básicas:
 - 1N4148 (diodos de pequeno sinal)
 - Família 1N400X (diodos retificadores)
 - Família BZX61 (diodos Zener)

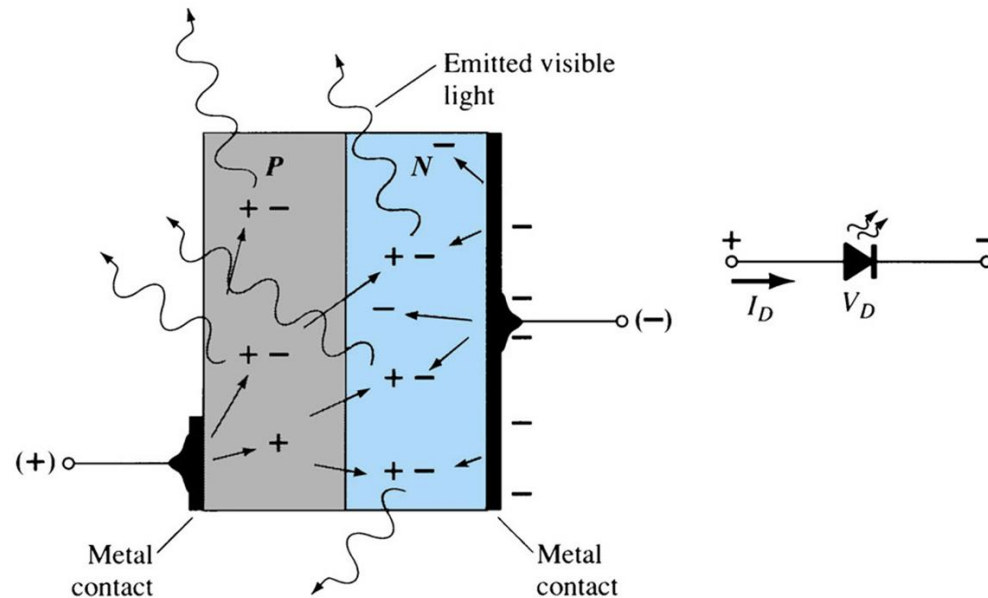
- Alguns exemplos de diodos comerciais

Tipo	Uso	Corrente	$V_{ruptura}$
1N914	alta velocidade	75 mA	75
1N4148	alta velocidade	200 mA	75
BB119	Varicap	-	-
BB809	varicap usado em VHF	-	-
1N4001	retificador	1A	50
1N4002	retificador	1A	100
1N4003	retificador	1A	200
1N4004	retificador	1A	400
1N4005	retificador	1A	600
1N4006	retificador	1A	800
1N4007	retificador	1A	1000

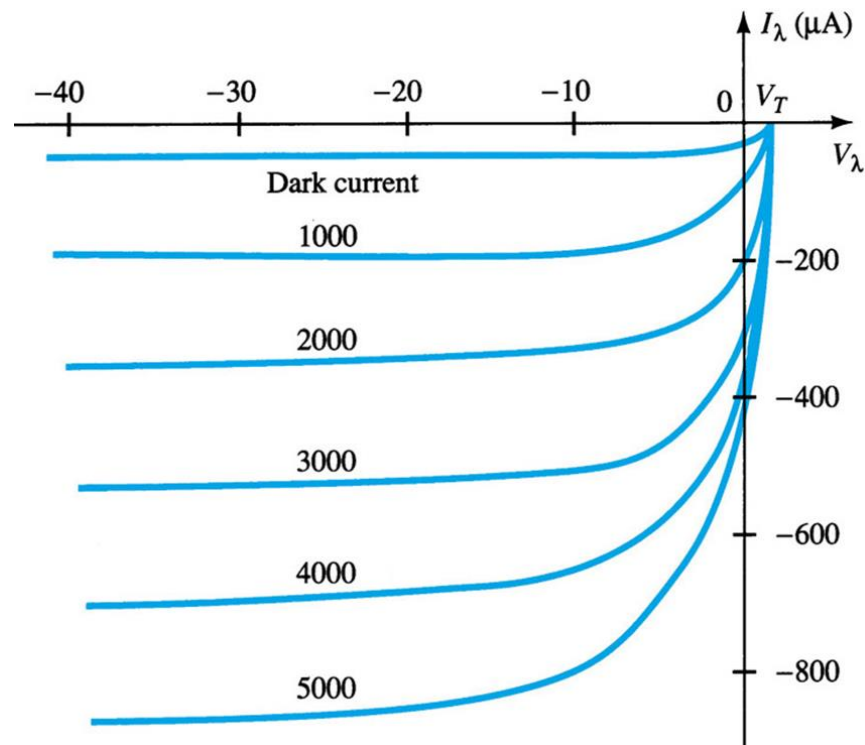
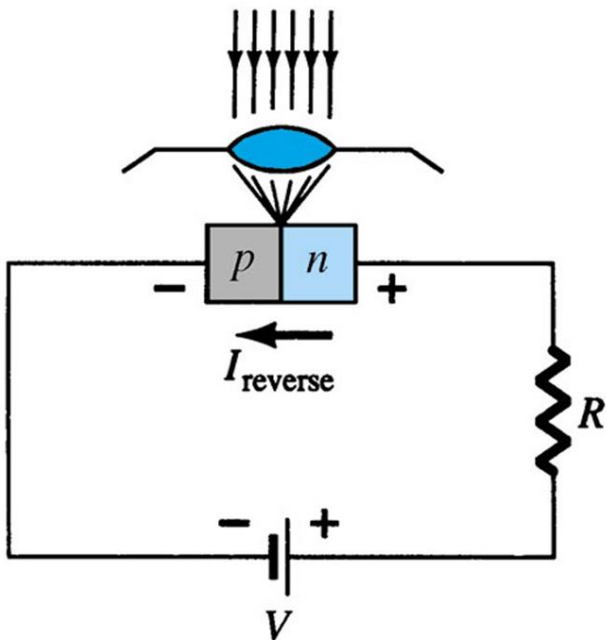
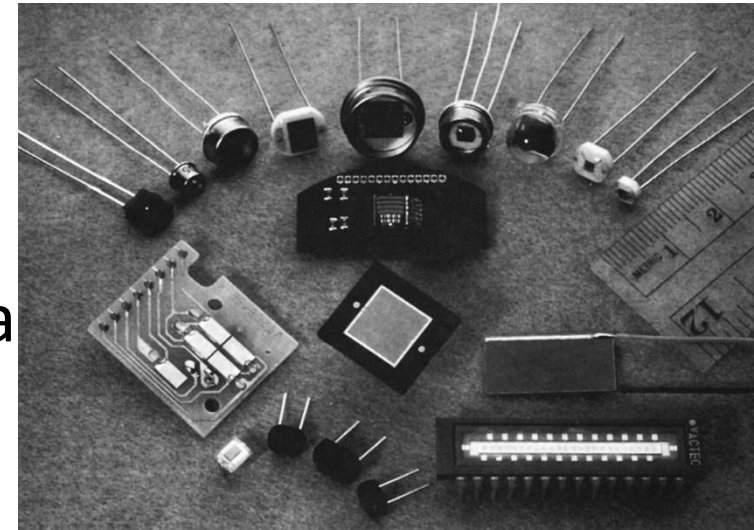
Tipos especiais de diodos

- A) Diodo emissor de luz (LED)
 - Recombinação de lacunas e elétrons = calor e fótons
 - $1,7 < V_T < 3,3V$

Color of LED	Voltage Drop (Volt)
 Red	1.63 ~ 2.03
 Yellow	2.10 ~ 2.18
 Orange	2.03 ~ 2.10
 Blue	2.48 ~ 3.7
 Green	1.9 ~ 4.0
 Violet	2.76 ~ 4.0
 UV	3.1 ~ 4.4
 White	3.5



- B) Fotodiodo
 - Somente corrente reversa
 - Luz desloca elétrons de valência



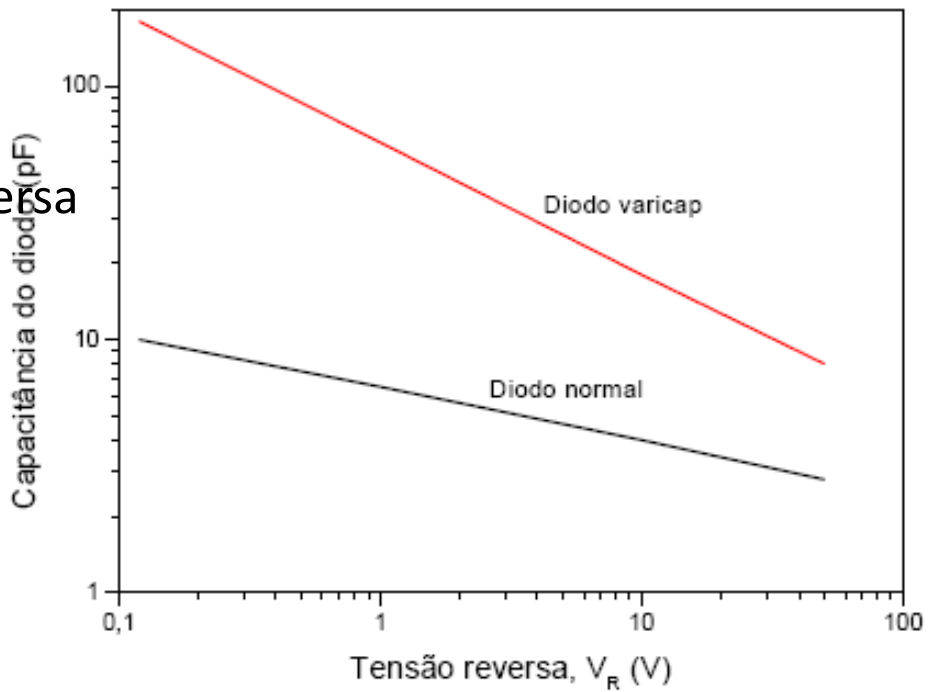
C) Diodo de Schottky

- Barreira metálica substituindo material p
 - sem injeção e armazenamento de portadores minoritários
 - ausência recuperação reversa
 - $V_T=0,25\text{ V}$



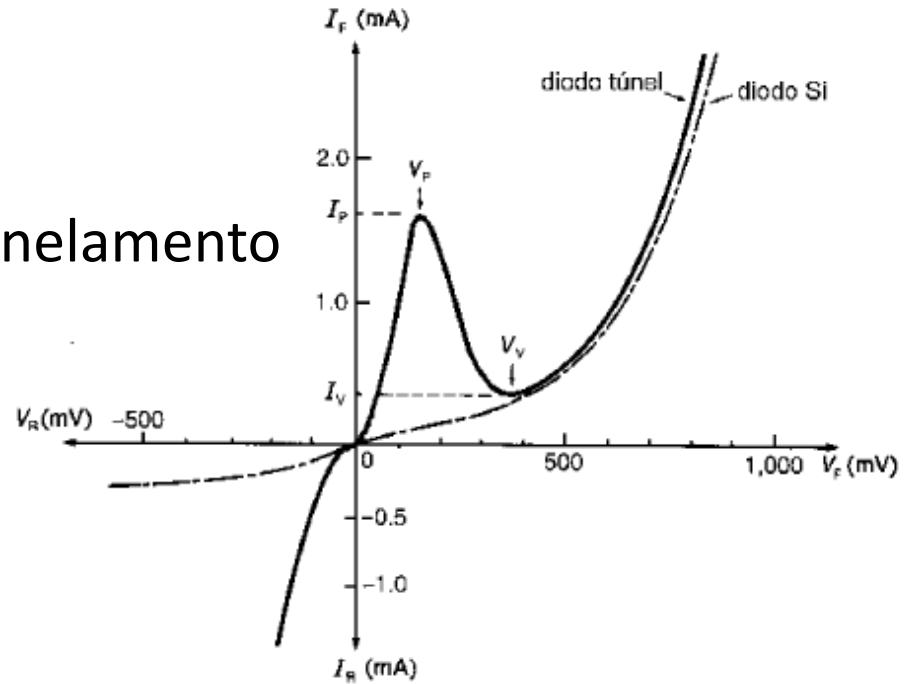
D) Varactores/Varicap

- Controle na junção pn
- Capacitância varia com a tensão reversa



- E) Diodo de tunel

- Excesso de impurezas
- Fenômeno quântico de tunelamento



- Simbologia

Genérico



Schottky



Foto-diodo



Zener



LED



Varicap

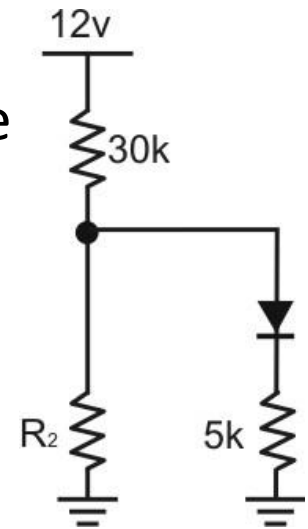


Túnel

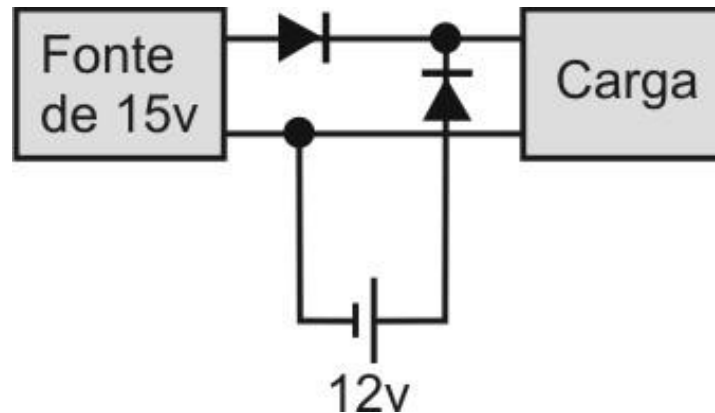


Exercícios e exemplos

Exemplo 2: Que valor deve ter R_2 na figura abaixo para que a corrente no diodo seja de $0,25\text{mA}$?



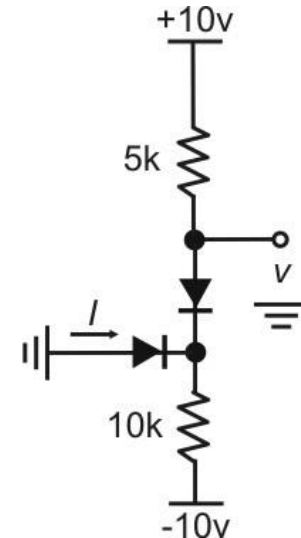
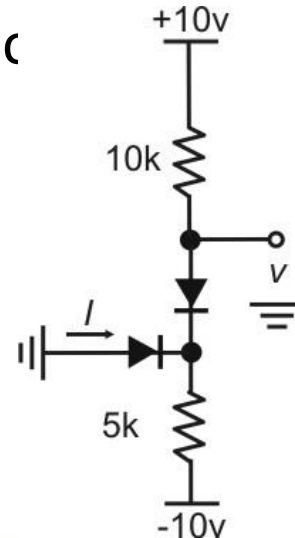
Exemplo 3: Alguns sistemas, como os alarmes, usam uma bateria de emergência para o caso de uma eventual queda da tensão da rede. Descreva como o circuito da figura abaixo funciona



Exemplo 4: A figura abaixo mostra um circuito alimentando por uma onda senoidal de 24v de pico. Determine a (i) forma de onda de condução do diodo, (ii) o valor de pico da corrente no diodo e (iii) a tensão de polarização inversa máxima sobre o diodo

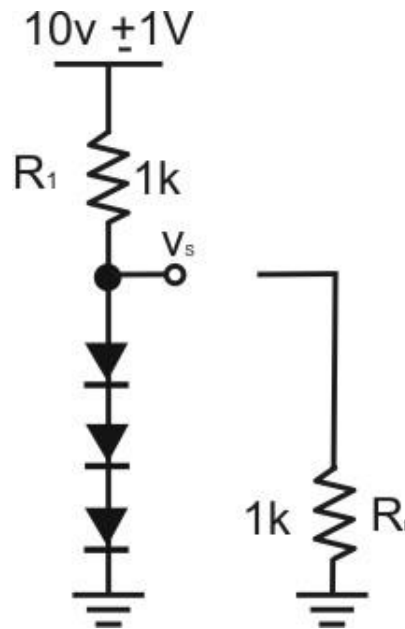


Exemplo 5: Considerando diodos ideais, calcule os valores de I e V nos circuitos abaixo. Considere diodos ideais

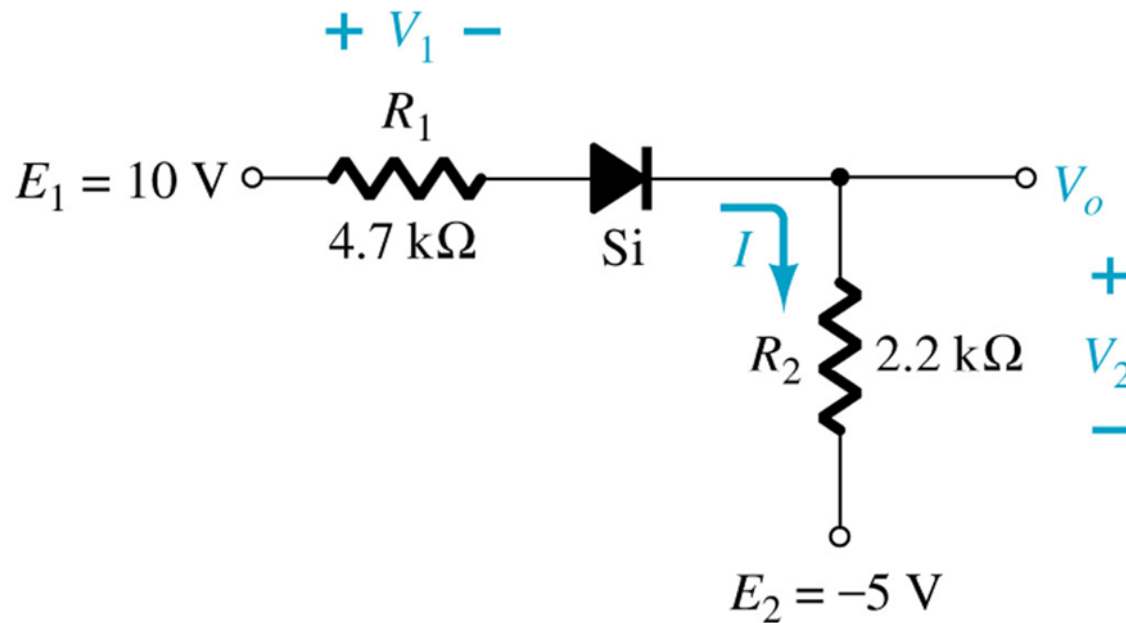


Exemplo 6: baseando-se na figura abaixo, responda:

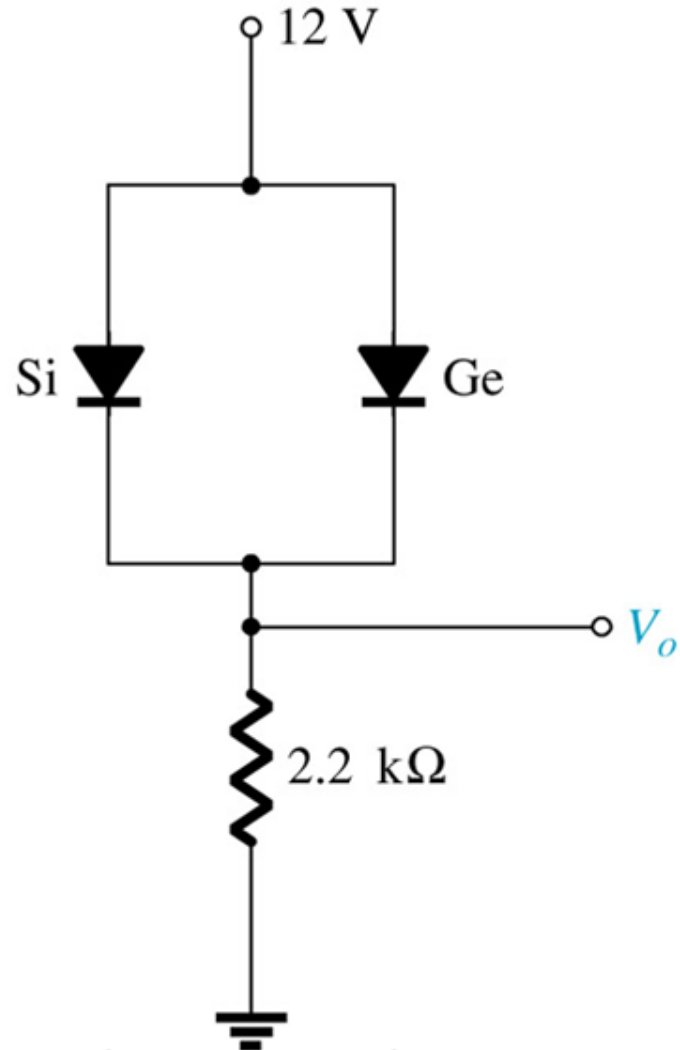
- a) Considerando uma alimentação fixa de 10v, três diodos são usados para conseguir uma saída V_s fixa de 2,4V. Considere que os diodos tenham uma queda de 0,7V de queda com corrente de 1mA e que $\Delta V=0,1V/\text{década}$ de variação de corrente, estipule um valor para R_1 .
- b) Três diodos são usados para uma saída de 2,1V. Deseja-se calcular a variação de saída provocada por (i) uma variação de $\pm 1V$ na fonte e (ii) a ligação de uma resistência de carga de 1kohm



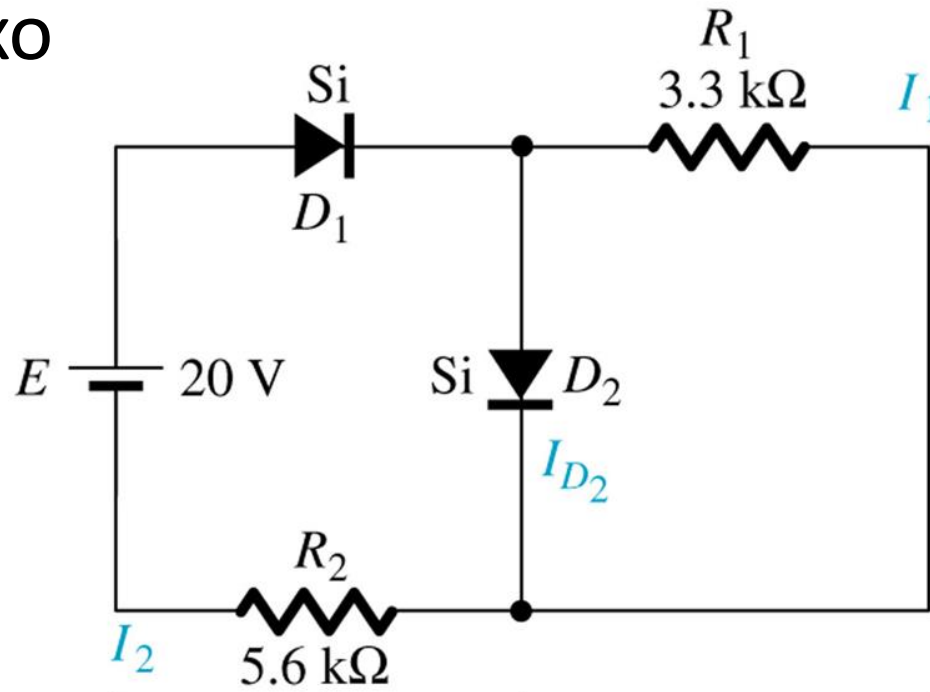
Exemplo 7: Determine I , V_1 , V_2 , V_0 da figura abaixo.



Exemplo 8: Calcule V_o para a figura abaixo



Exemplo 9: determine as correntes I_1 , I_2 e I_D na figura abaixo



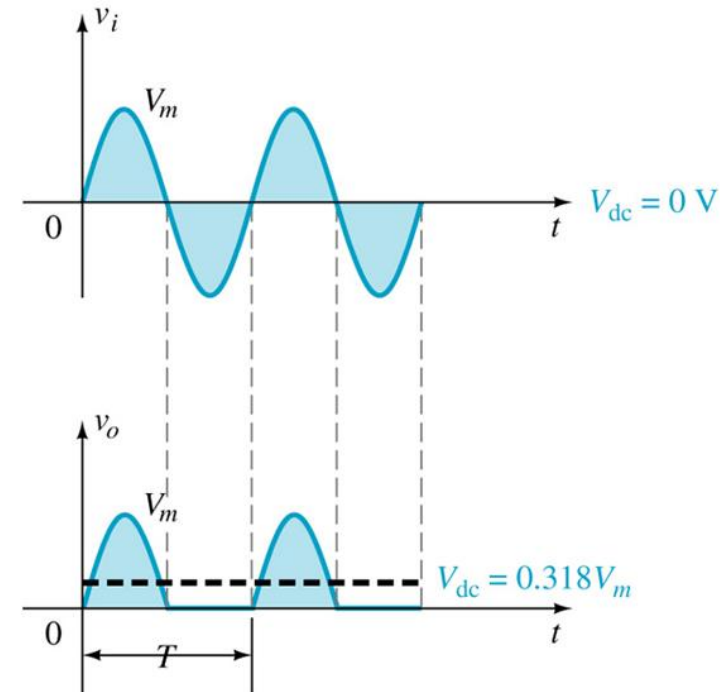
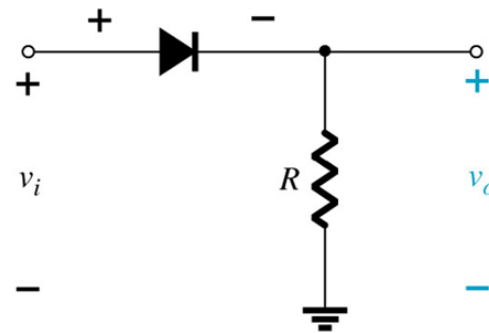
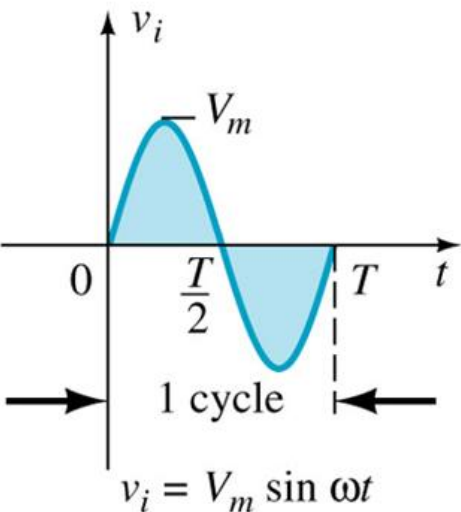
Parte 2:

Circuitos com diodos – aplicações



- A) Retificador de meia onda:

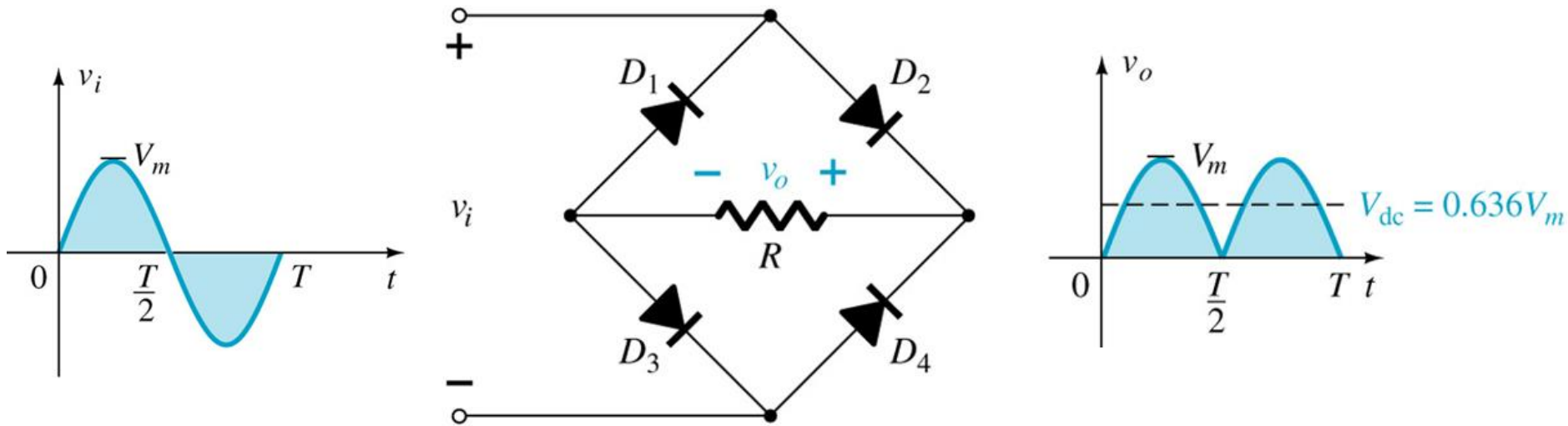
- $V_{\text{rms}} = 0,318 (V_m - V_T)$ onde $V_T = 0,7\text{v}$



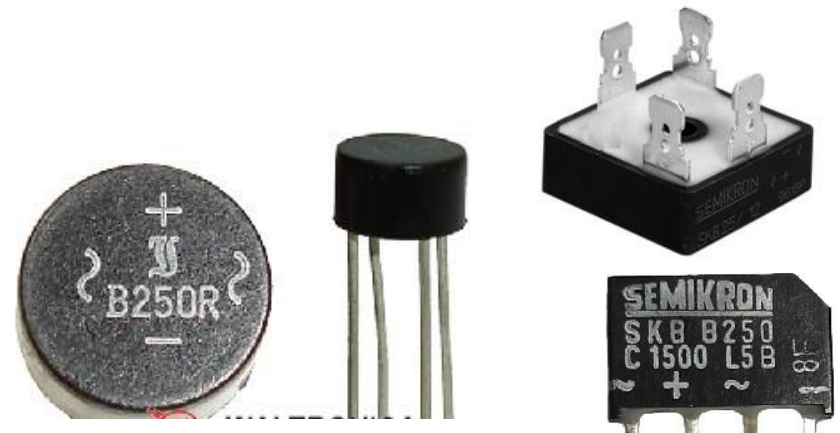
- Tensão pico inversa (PIV)/tensão de pico reversa (PRV):

- $\text{PIV} \geq V_m$

- B) Retificador de onda completa em ponte

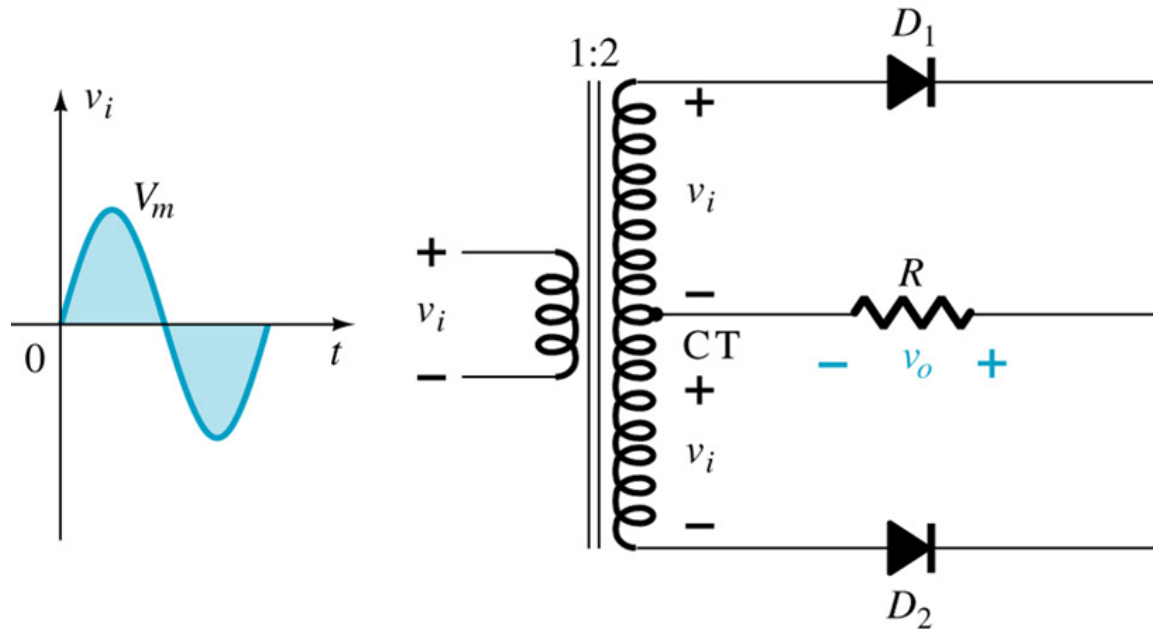


- $V_{rms} = 0,636 (V_m - 2V_T)$
- $PIV \geq V_m$



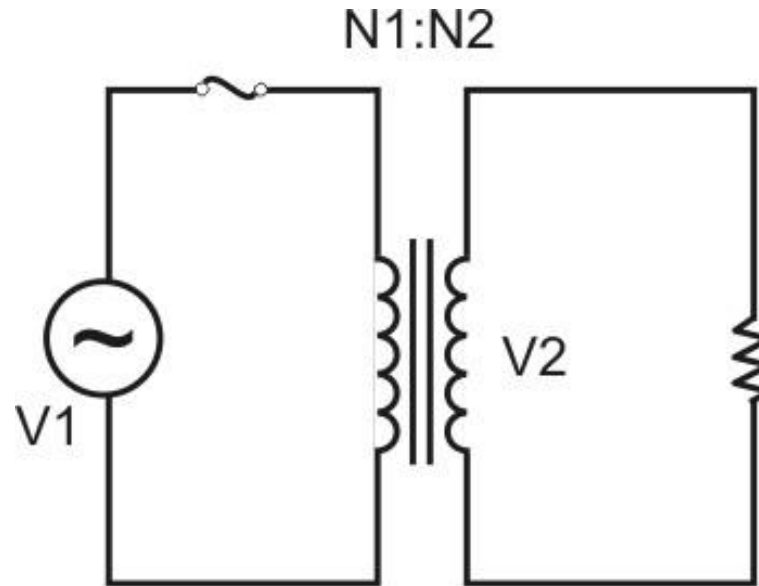
– CI's de ponte retificadora: 1B4B42 e SKB1,2/08 B250R

- C) Retificador de onda completa com transformador com derivação (tap) central



- $V_{\text{rms}} = 0,636 (V_m - V_T)$
- $\text{PIV} \geq 2 V_m$

- Equações básicas do transformador:

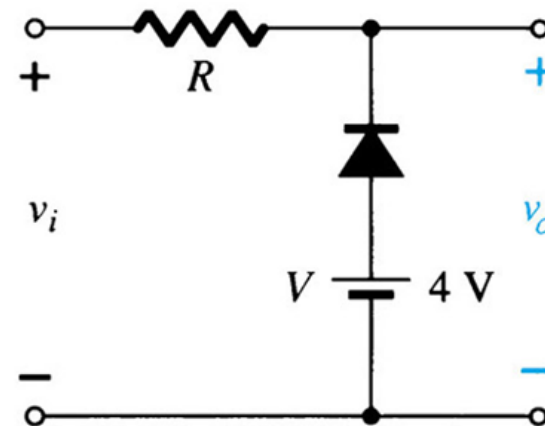
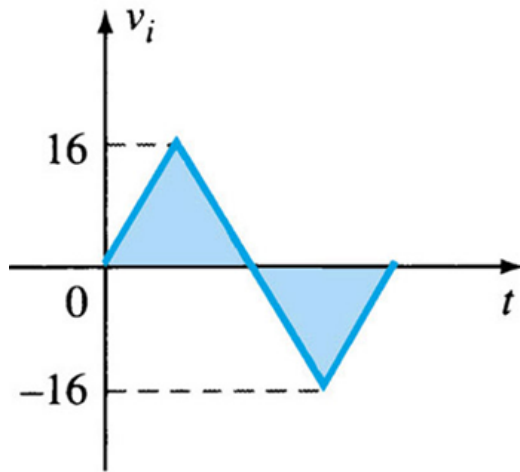


$$- V_2 = (N_2/N_1)V_1$$

$$- P_1 = P_2 \quad \text{ou} \quad V_2 I_2 = V_1 I_1$$

Ceifadores

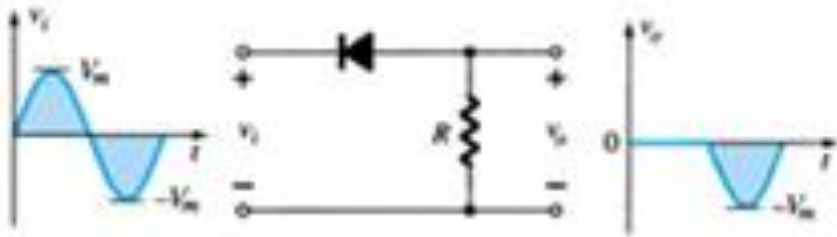
- Ceifar parte da onda sem distorcer o restante da onda
- **Exemplo 10:** Determine a saída do circuito abaixo.



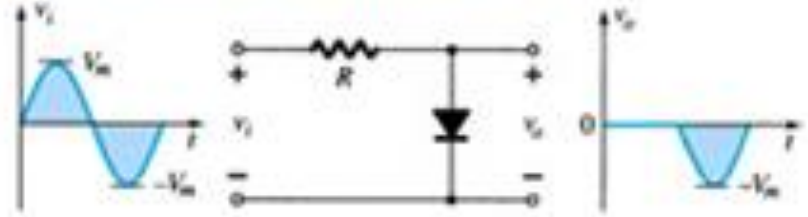
- Exemplos diversos de modelos de ceifadores

Simple Series Clippers (Ideal Diodes)

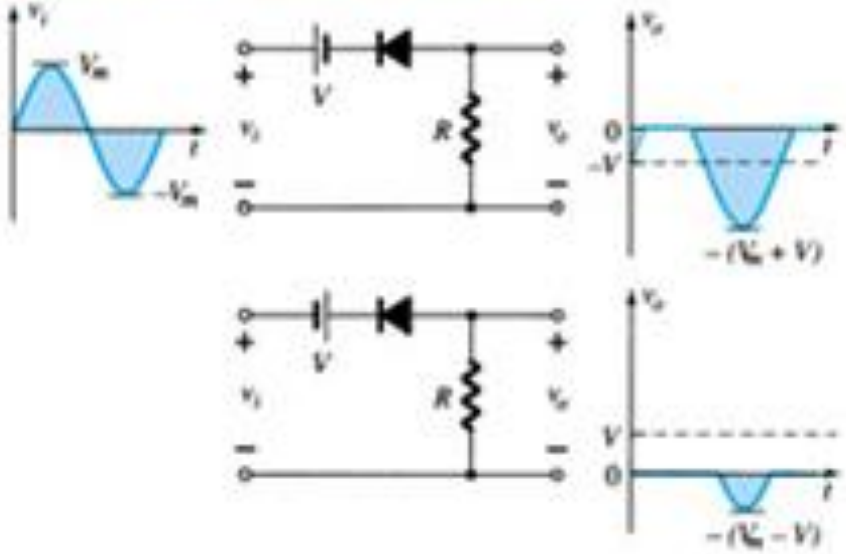
POSITIVE



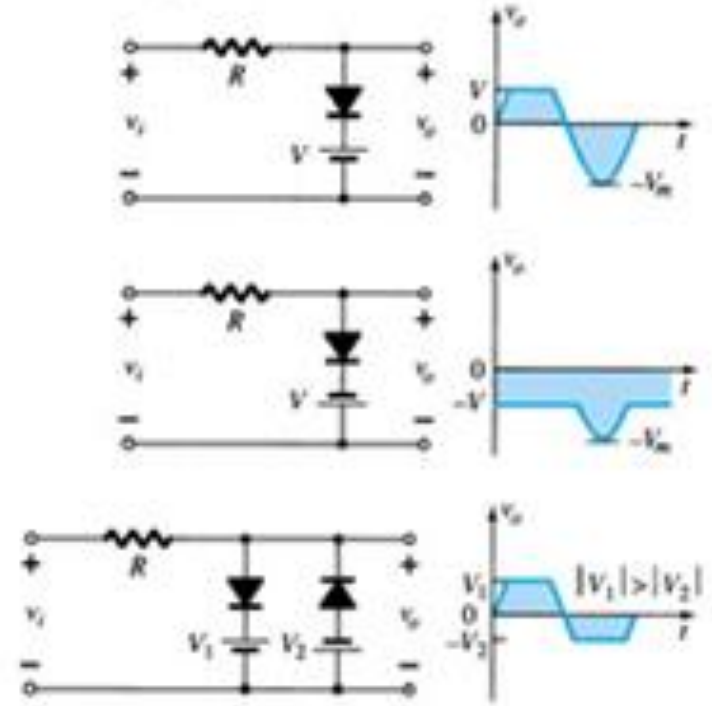
Simple Parallel Clippers (Ideal Diodes)

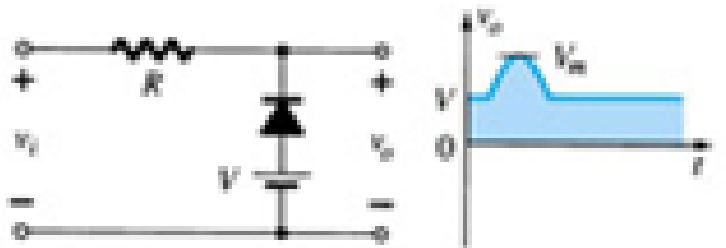
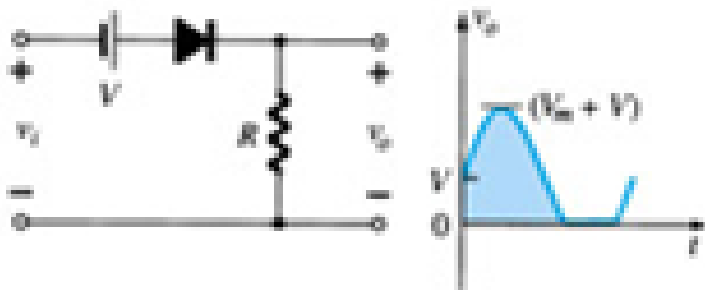
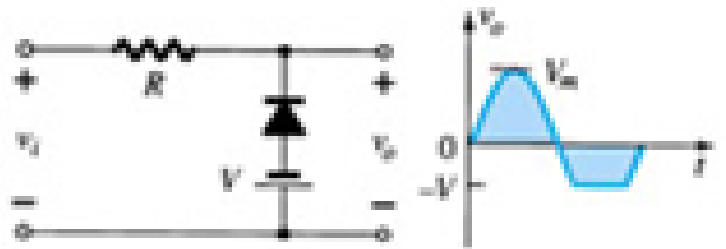
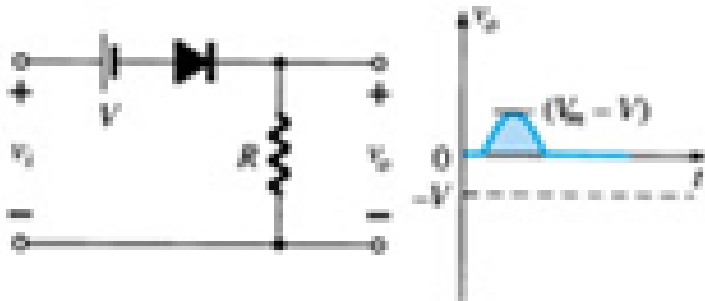
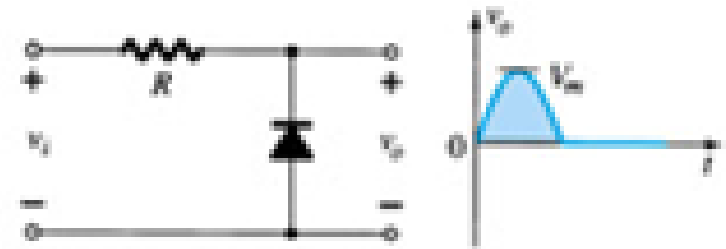
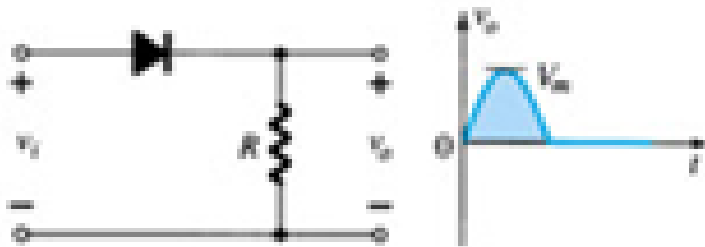


Biased Series Clippers (Ideal Diodes)



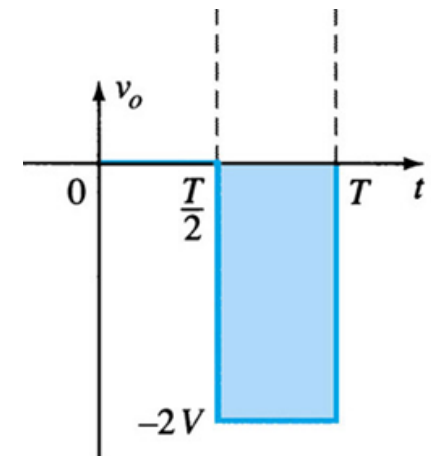
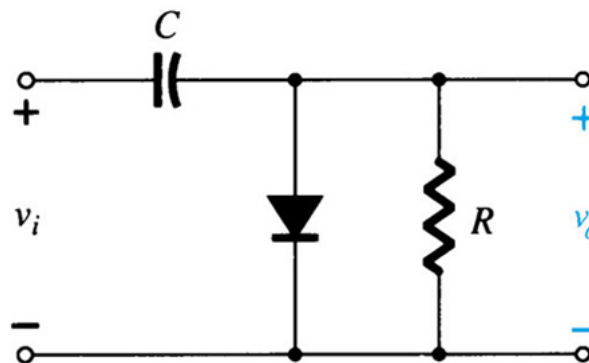
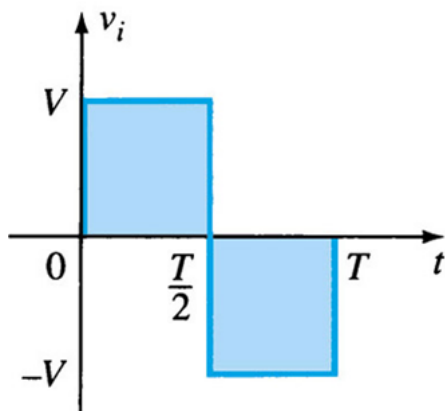
Biased Parallel Clippers (Ideal Diodes)





Grampeadores de tensão

- Geralmente usa capacitor ou fonte para *adicionar nível CC ao sinal*
 - *CONVENÇÃO*: RC deve ser elevada para assegurar que tensão no capacitor não descarregue significativamente
- **Exemplo 11:**

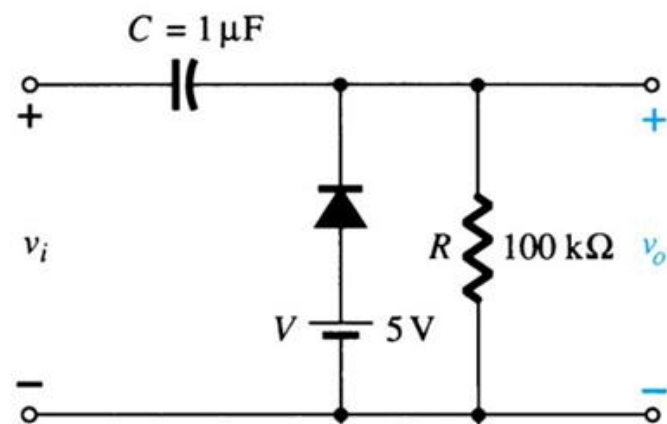
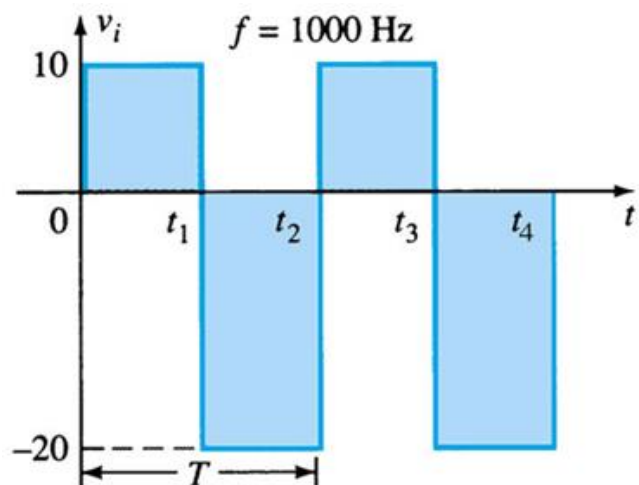


- Regras para análise:

- 1) Comece a análise começando pela parte do sinal de entrada que polarizara diretamente o diodo ;
- 2) Durante o período ligado do diodo, presuma que o capacitor carrega-se instantaneamente;
- 3) Convencione que, durante o período em que o diodo está desligado, o capacitor se mantém no valor estabelecido (RC alto em relação T_{IN});
- 4)o resto “Deus” ajuda

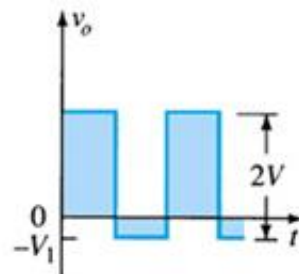
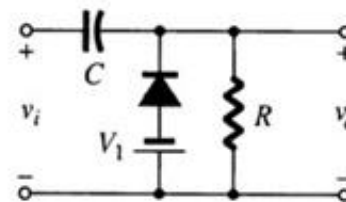
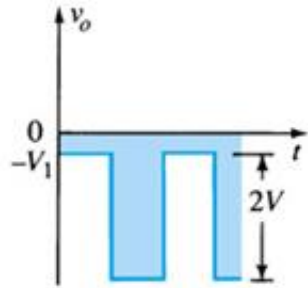
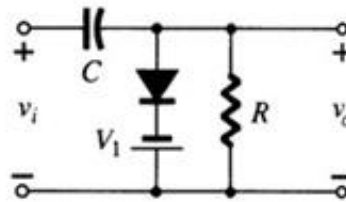
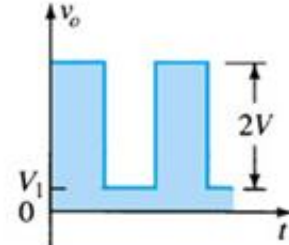
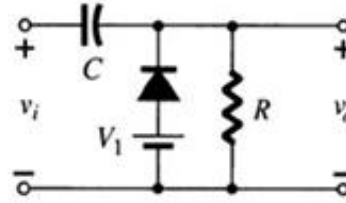
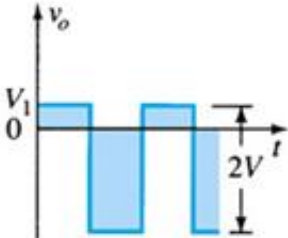
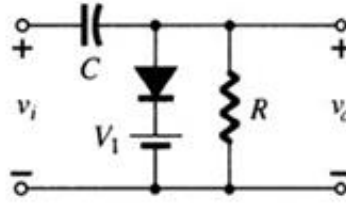
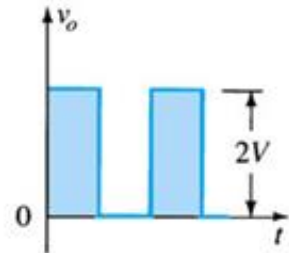
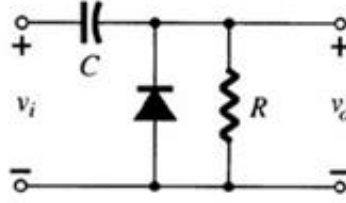
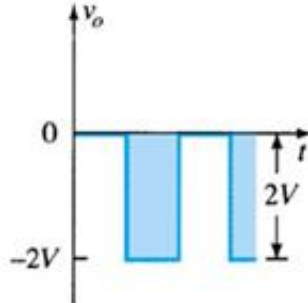
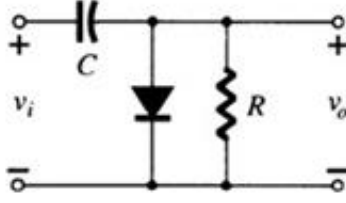
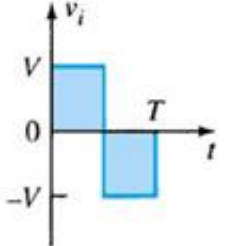


- **Exemplo 12:** determine a forma de onda para v_o para a entrada indicada abaixo



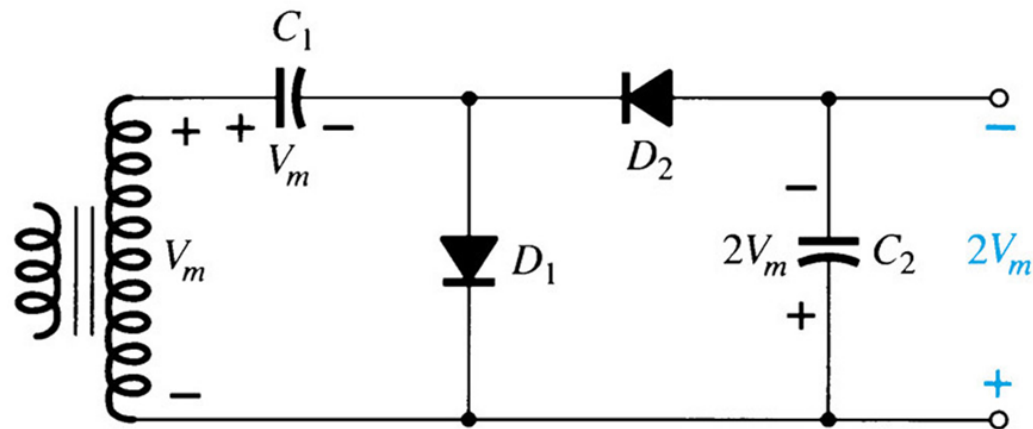
- Modelos diversos:

Clamping Networks

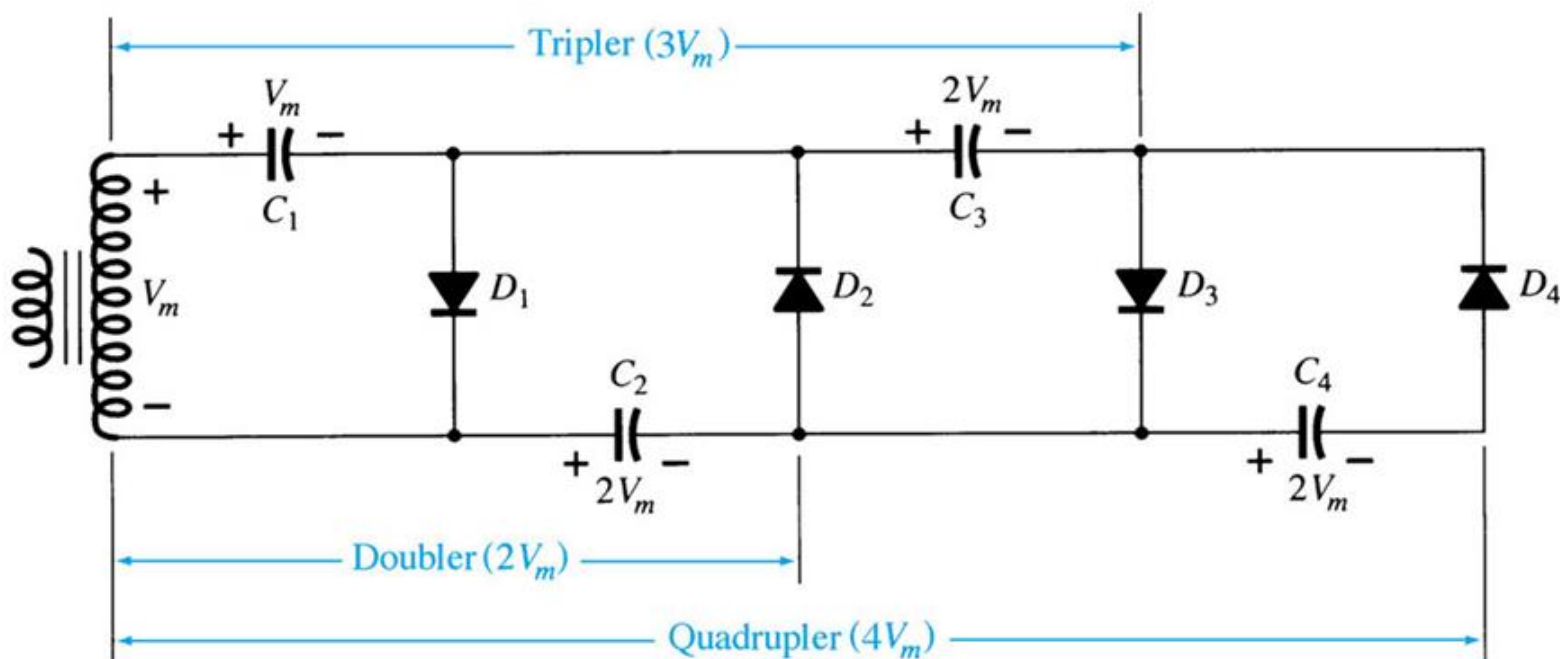


Multiplicadores de tensão

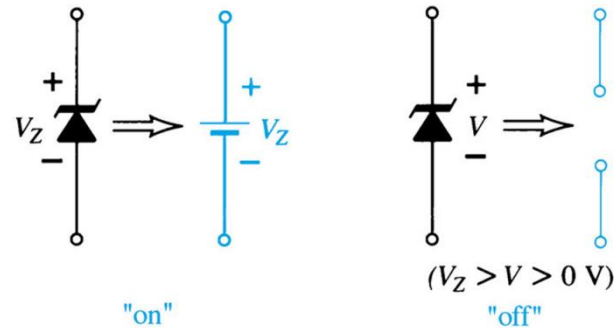
- Dobrador de tensão



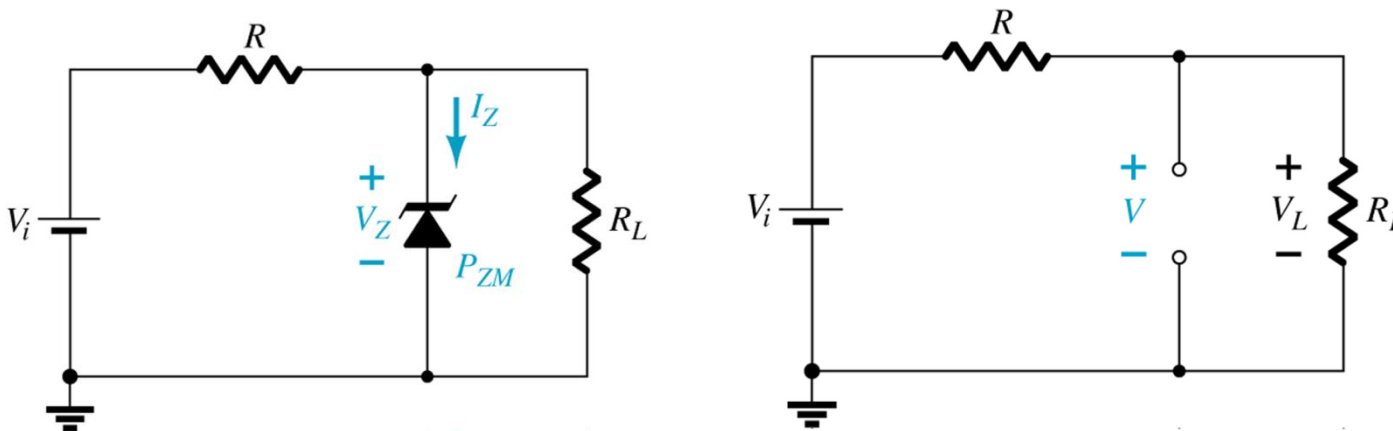
- Triplicador e quadruplicador de tensão



Diodo Zener: projeto

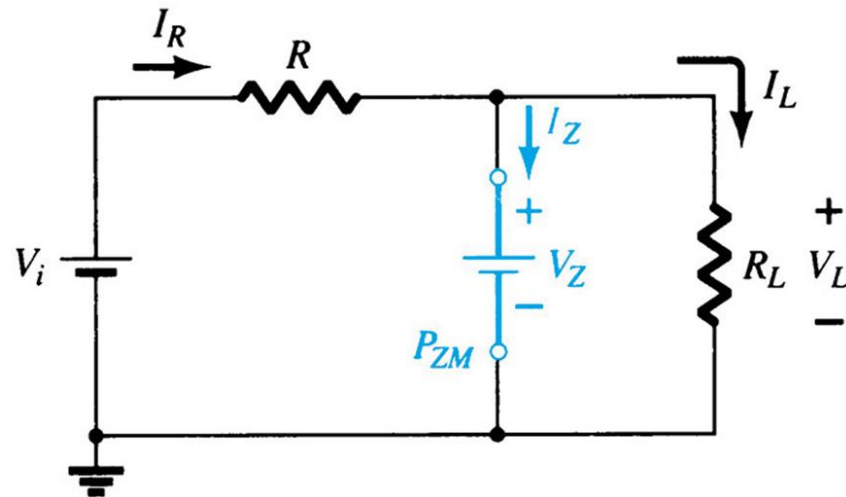


- Passo 1:** determine o estado do Zener removendo-o do circuito e calculando a tensão do circuito aberto resultante



$$V_L = \frac{R_L V_i}{R + R_L}$$

Passo 2: substitua o circuito equivalente apropriado e determine as variáveis desejadas

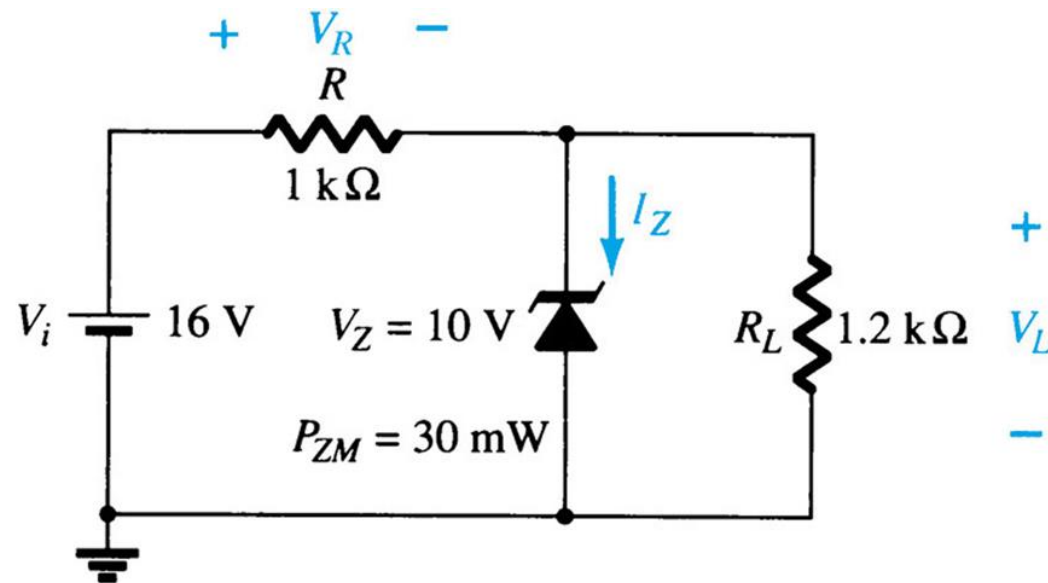


- Determine a corrente I_Z no Zener: $I_Z = I_R - I_L$
- Determine a potência no Zener: $P_Z = V_Z I_Z$

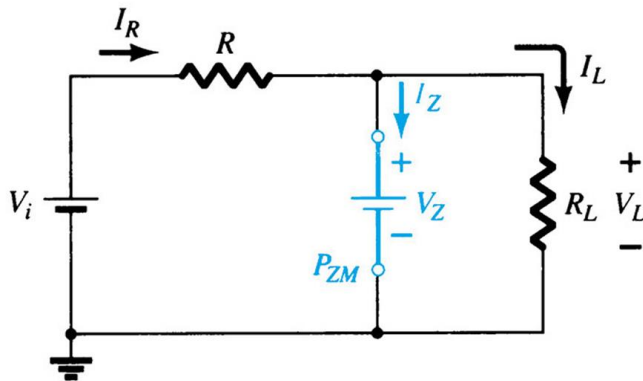
• **Exemplo 13:** para o circuito abaixo determine:

a) V_L , V_R , I_Z e P_Z

b) Repita os cálculos para $R_L = 3K$ ohms



- Há uma faixa específica de valores de V_i e R_L que garantirá que o Zener esteja ativo. Logo:



Observe que:

- I_R é fixo
- I_Z é limitado a I_{ZM} (dado *datasheet*)

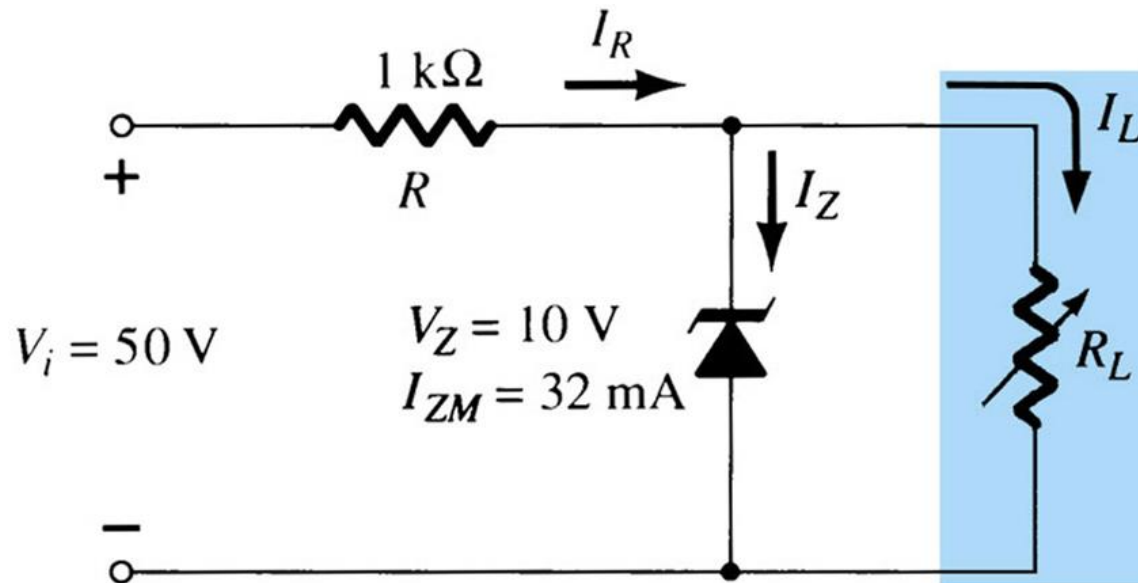
- **CASO A** (V_i fixo e R_L variável): Carga mínima para ativar o Zener

$$R_{L\min} = \frac{RV_z}{V_i - V_Z}$$

- **CASO B** (V_i fixo e R_L variável): Carga máxima para ativar o Zener

$$R_{L\max} = \frac{V_z}{I_{L\min}}$$

- **Exemplo 14:** Determine a faixa de valores de R_L e I_L que manterá o diodo na região Zener



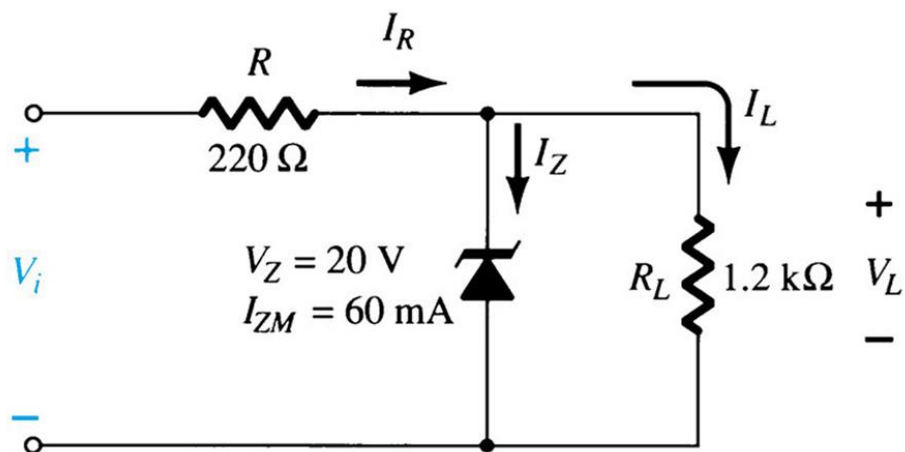
- **CASO C** (V_i variável e R_L fixo): V_i mínima para ativar Zener.

$$V_{i_mim} = \frac{(R_L + R)V_z}{R_L}$$

- **CASO D** (V_i variável e R_L fixo): V_i máxima para ativar Zener.

$$V_{i_máx} = I_{Rmáx}R + V_Z$$

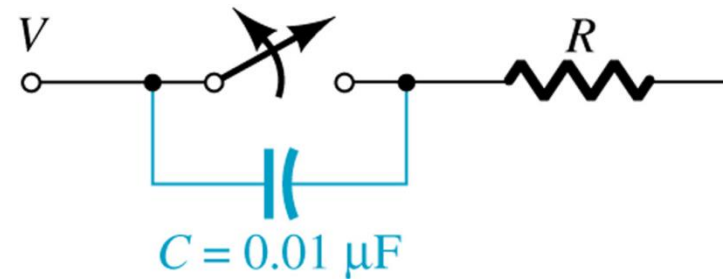
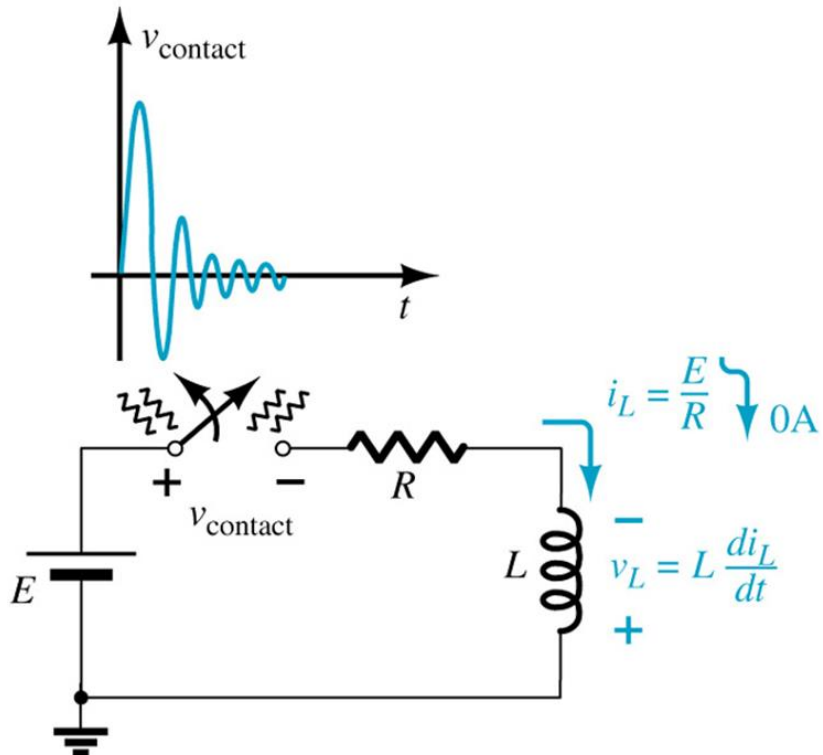
Exemplo 15: Determine a faixa de valores de alimentação que manterão o diodo na região Zener

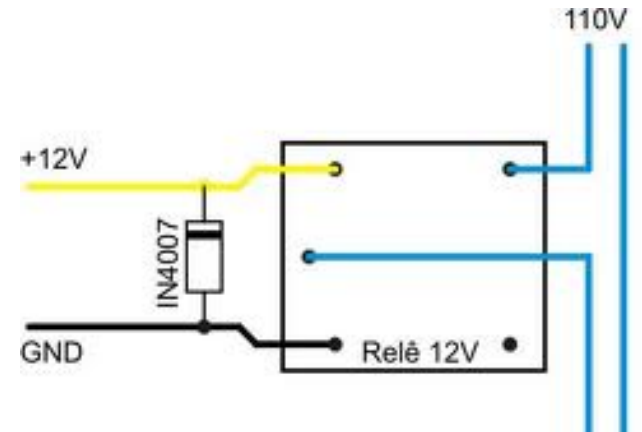
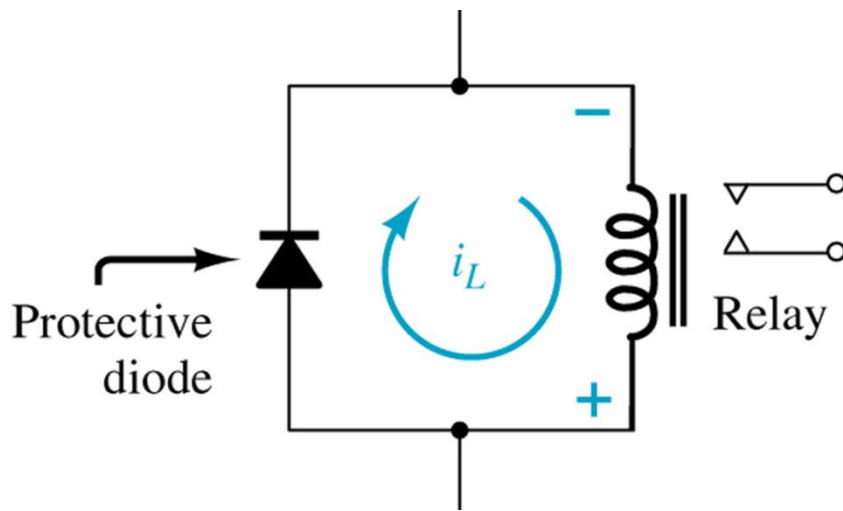
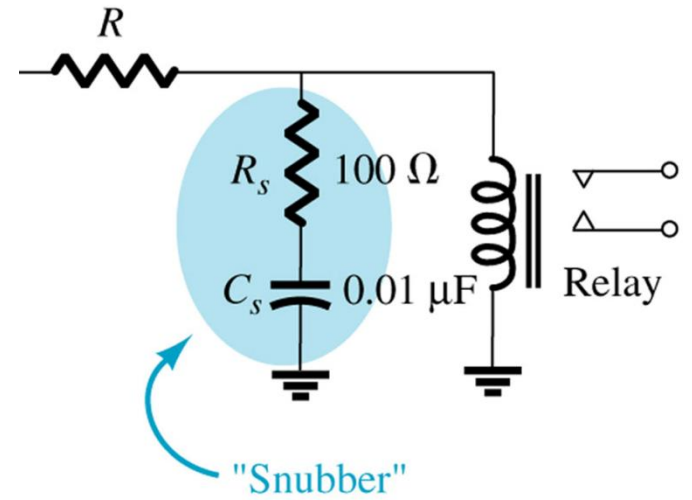
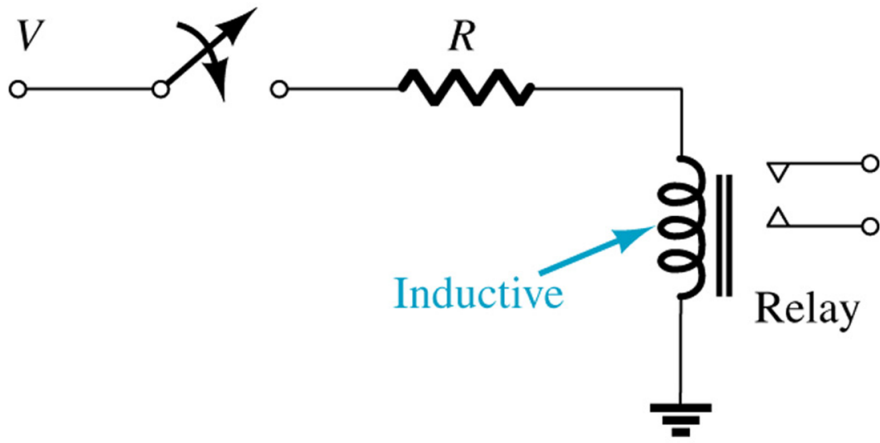


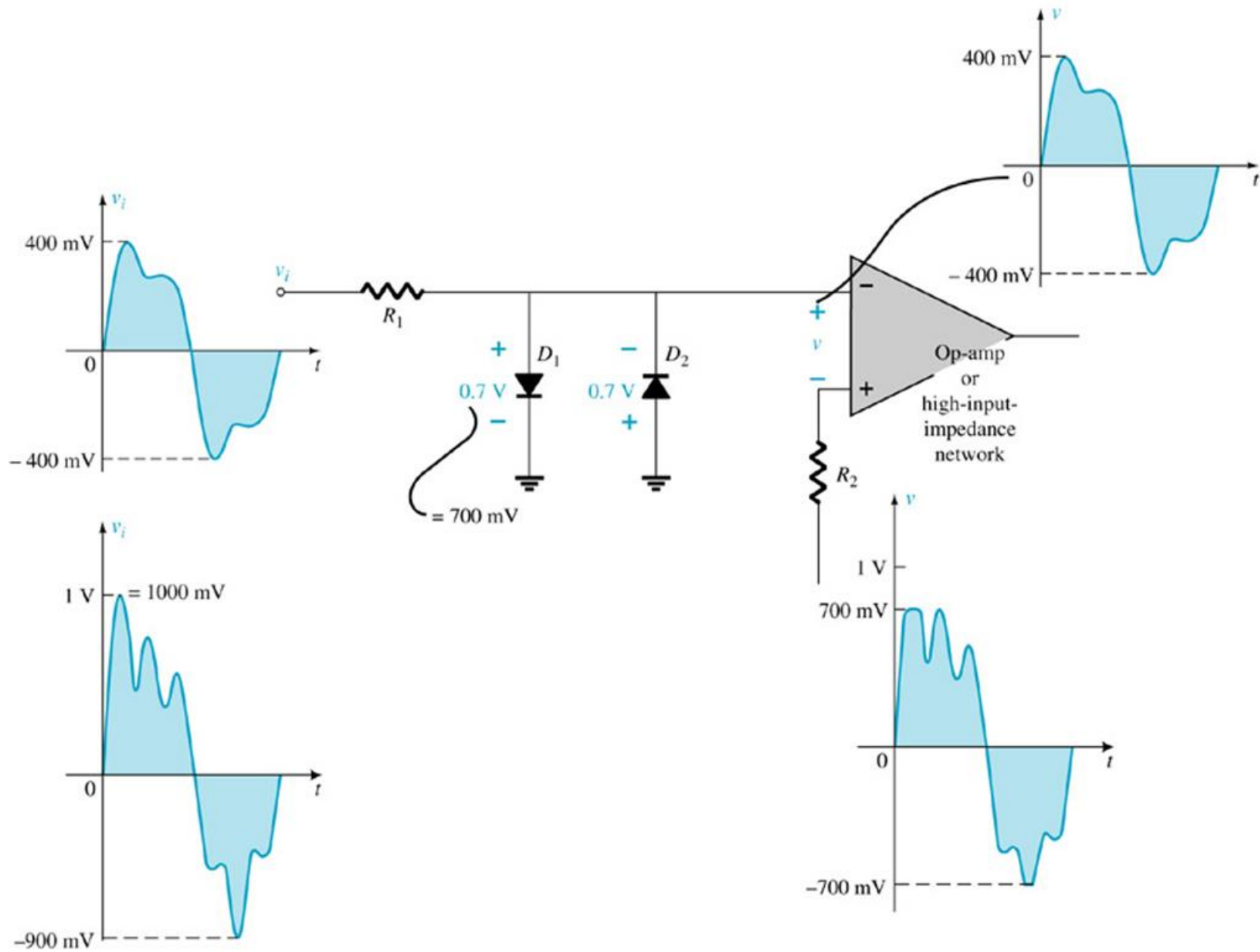
Outras aplicações

- Configurações de proteção

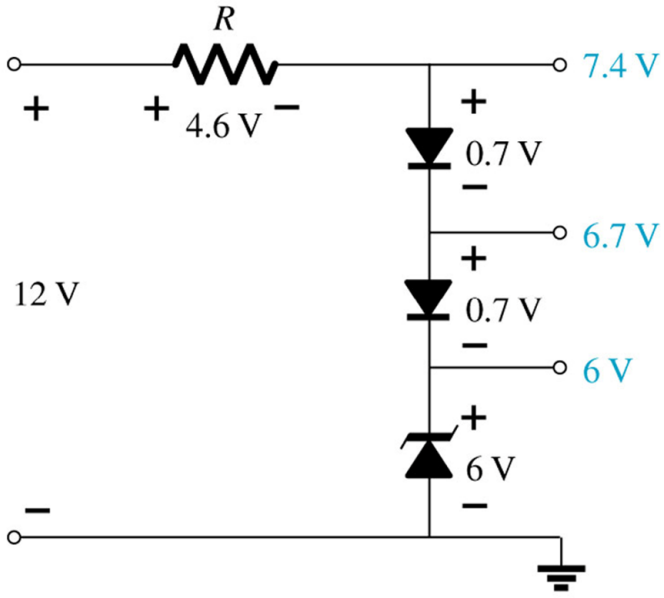
Golpe indutivo



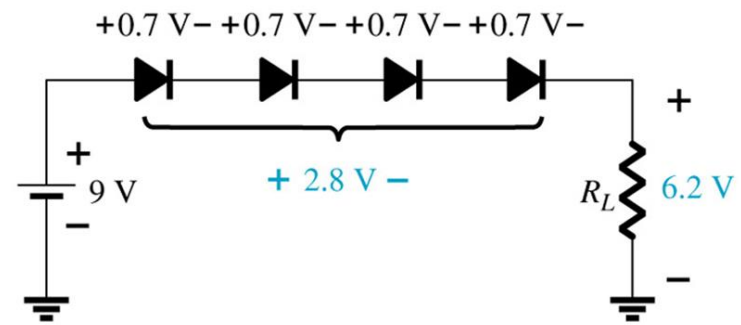
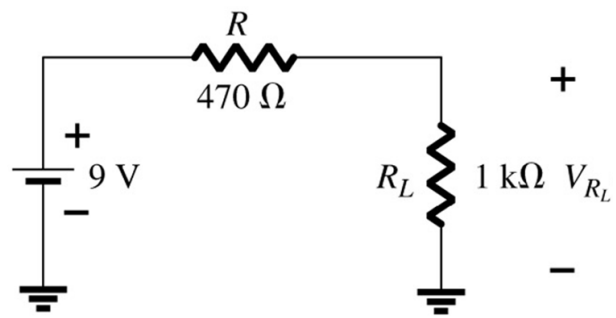




- Estabelecimento de níveis de referência de tensão

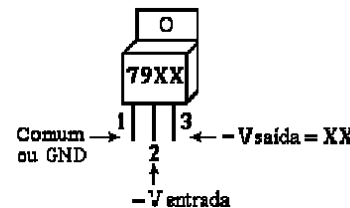
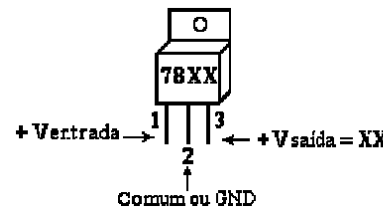


- Referência por divisor resistivo x diodo

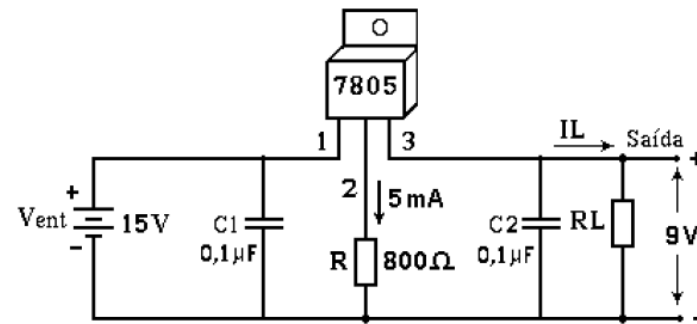
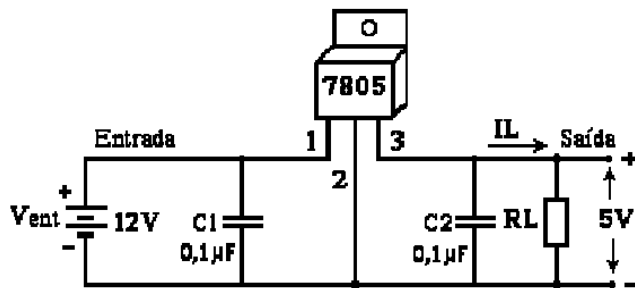


– Reguladores de tensão:

Reguladores de tensão 78XX – 79XX				
Código		Tensão máxima a aplicar na entrada (E)	Tensão de saída (S) regulada	Corrente máxima na saída
Positivo	Negativo			
7805	7905	35V	5V	1A
7806	7906	35V	6V	1A
7810	7910	35V	10V	1A
7812	7912	35V	12V	1A
7815	7915	35V	15V	1A
7818	7918	35V	18V	1A
7824	7924	40V	24V	1A

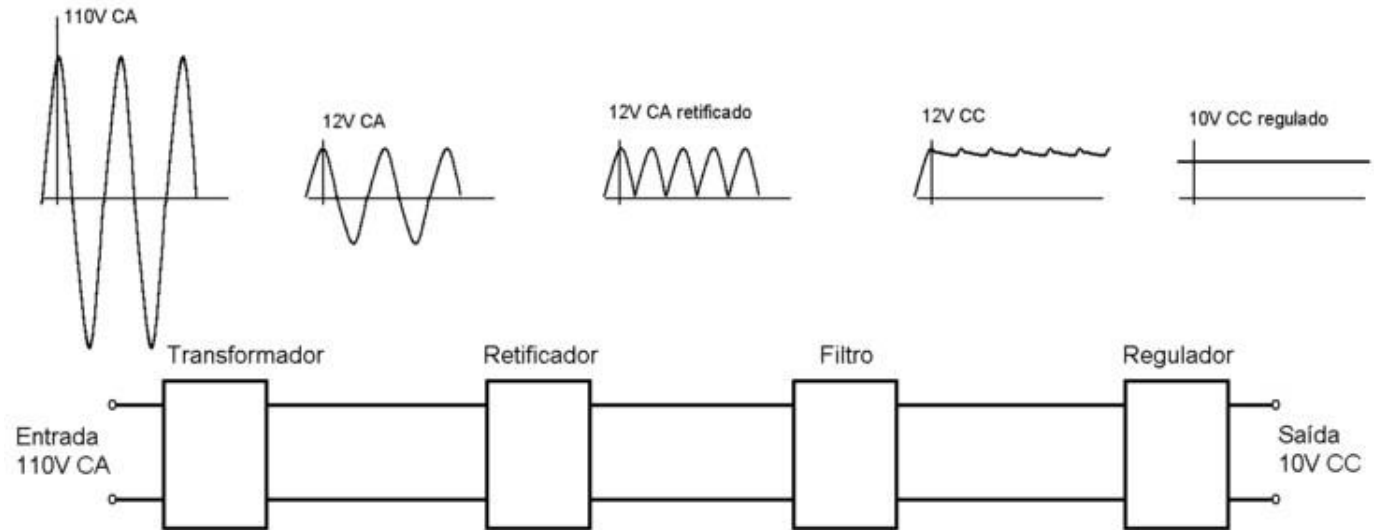


- Máxima potência: 15W ($P = [V_{in} - V_{out}] \cdot I_L$)
- Exemplos de ligação:

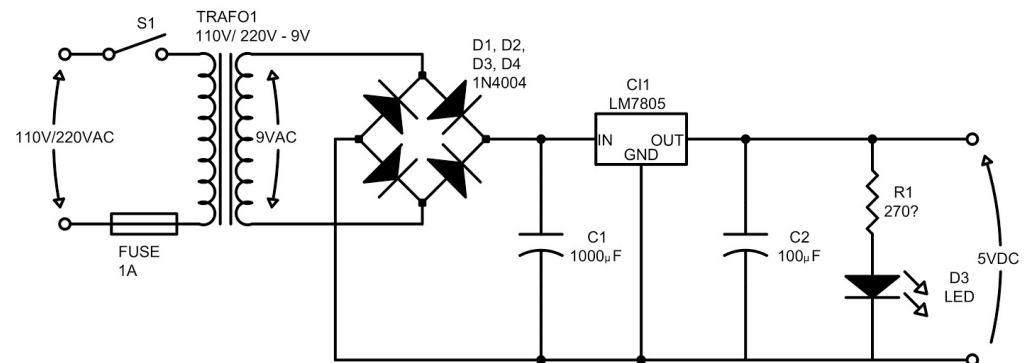


Projeto básico fontes de alimentação

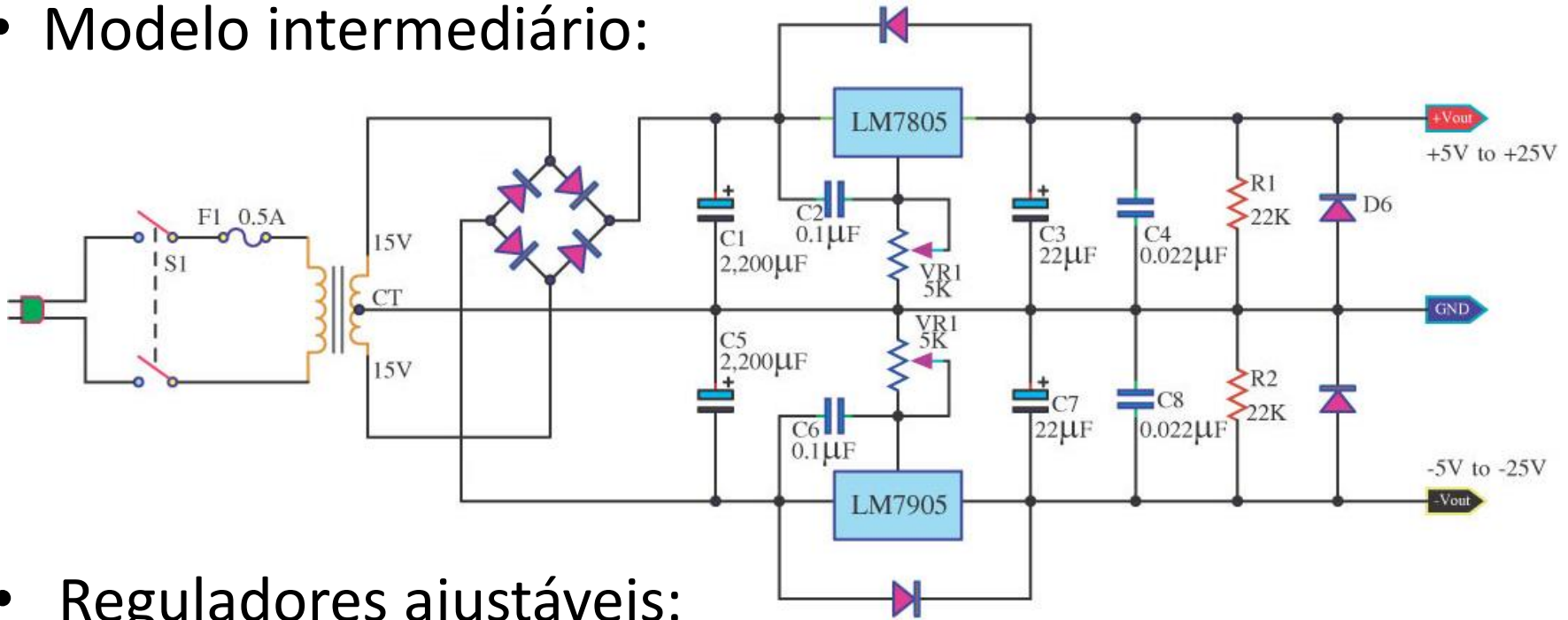
- Visão geral:



- Modelo básico:

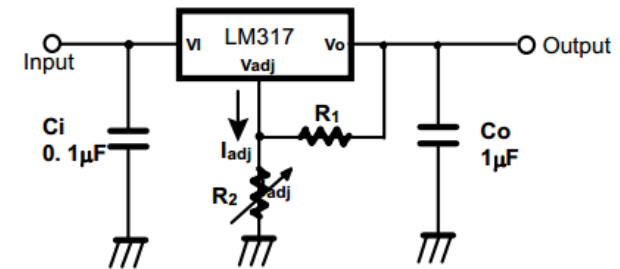


- Modelo intermediário:



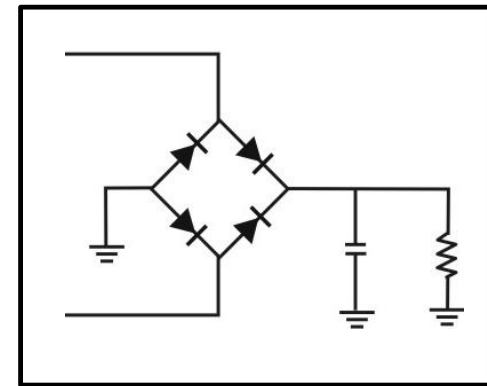
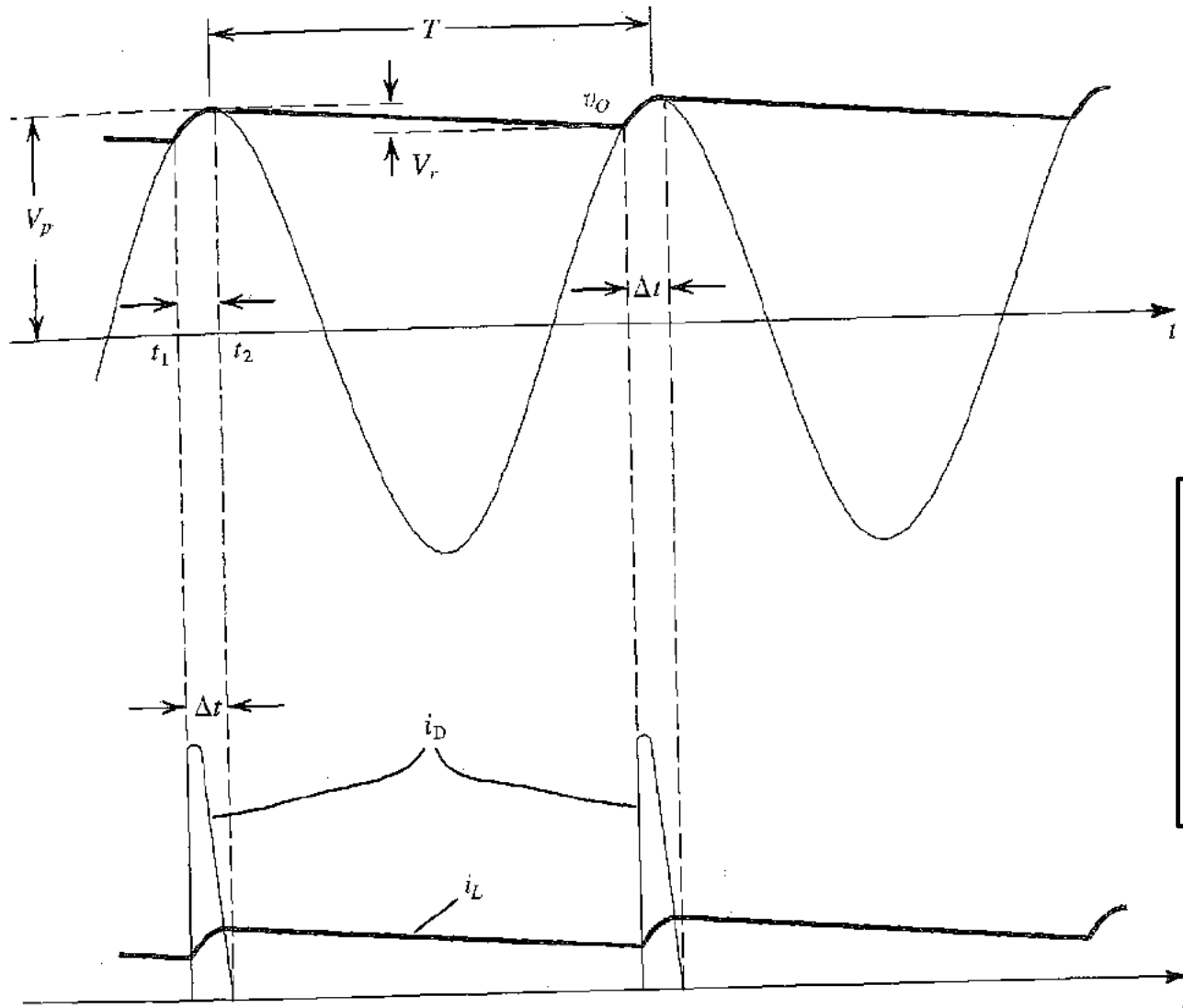
- Reguladores ajustáveis:

Chip	LM317T	LM350T	LM338T
Output Voltage	1.2...37 V	1.2...33 V	1.2...33 V
Max. Output Current	1.5 A	3 A	5 A
Max. Input Voltage	40 V	35 V	35 V
Max. power dissipation	15-20 W *	25-50 W *	25-50 W *
Temperature Range	0° - 125 °C	0° - 125 °C	0° - 125 °C
Package	TO-220	TO-220	TO-220



$$V_o = 1.25V (1 + R_2 / R_1) + I_{adj} R_2$$

- Formas de onda da condução



- Para calcular o *ripple* (V_r):

$$V_P - V_r \cong V_P e^{-T/CR}$$

Onde T ($=1/60\text{Hz}$) é o período da onda da rede elétrica. Considerando que $C.R \gg T$, (tempo descarga muito maior que período oscilação da rede) podemos usar a aproximação:

$$e^{-T/CR} \cong 1 - T/CR$$

Logo:

$$V_r \cong V_P \frac{T}{CR}$$

Considerando uma frequência de ondulação 2x maior (retificador completo), basta substituir $T=T/2$. Assim:

$$V_r \cong V_P \frac{T}{2CR} \longrightarrow V_r \cong \frac{I_L}{2fC}$$